



OFICINA ESPAÑOLA DE PATENTES Y MARCAS

ESPAÑA



11) Número de publicación: 2 763 642

51 Int. Cl.:

G01N 17/00 (2006.01) F17D 3/01 (2006.01) F17D 5/06 (2006.01)

(12)

TRADUCCIÓN DE PATENTE EUROPEA

T3

(86) Fecha de presentación y número de la solicitud internacional: 04.05.2012 PCT/US2012/036611

(87) Fecha y número de publicación internacional: 08.11.2012 WO12151535

(96) Fecha de presentación y número de la solicitud europea: 04.05.2012 E 12779531 (8)

(97) Fecha y número de publicación de la concesión europea: 19.06.2019 EP 2705409

(54) Título: Sistema de análisis de conducciones y método de reparación

(30) Prioridad:

04.05.2011 US 201161482538 P 13.02.2012 US 201261598192 P

(45) Fecha de publicación y mención en BOPI de la traducción de la patente: 29.05.2020

(73) Titular/es:

QUANTA ASSOCIATES LP (100.0%) Suite 2600 2800 Post Oak Blvd. Houston, TX 77056, US

(72) Inventor/es:

GLUSKIN, MARK A.; GARRITY, KEVIN C.; WARNER, CHRISTOPHER M.; EASTMAN, ALAN y REIBOLDT, MARK

(74) Agente/Representante:

SANZ-BERMELL MARTÍNEZ, Alejandro

DESCRIPCIÓN

Sistema de análisis de conducciones y método de reparación

REFERENCIA CRUZADA A SOLICITUDES RELACIONADAS

5 Esta solicitud reivindica el beneficio de la Solicitud Provisional de Estados Unidos No. 61/482,538 presentada el 4 de mayo de 2011, y de la Solicitud Provisional de Estados Unidos No. 61/598,192 presentada el 13 de febrero de 2012.

ANTECEDENTES

La infraestructura energética tal como las torres de transmisión y las tuberías pueden ser instaladas para proveerle energía y otros servicios a las casas, los edificios, las instalaciones y otras estructuras. Una vez instalado es difícil de determinar si hay un problema de mantenimiento con la infraestructura que está bajo tierra y si es necesario hacer un procedimiento de mantenimiento y/u operación de reparación en la infraestructura, o porciones de la misma. Por eso existe una necesidad para realizar de forma eficiente una evaluación, inspección y análisis de la infraestructura energética enterrada.

15 La Solicitud de Patente US 2006/0129338 divulga un sistema de análisis de conducciones que utiliza dispositivos de inspección de tuberías en línea para inspeccionar segmentos de conducciones correspondientes a áreas de alta preocupación y evaluar riesgos de fallas de conducciones.

RESUMEN BREVE

20 La presente invención proporciona por lo tanto un sistema de análisis de conducciones y un método de reparación de infraestructuras que utiliza el citado sistema de acuerdo con las reivindicaciones 1 y 6, respectivamente.

Tal como es usado en el presente documento el término "determinar" y similares incluirá el significado de "inferir" y similares.

Tal como es usado en el presente documento el término "fluidos" incluirá fluidos y gases.

25

DESCRIPCIÓN BREVE DE VARIAS VISTAS DE LAS FIGURAS

Las realizaciones pueden comprendidas de mejor modo, y numerosos objetos, características, y ventajas se harán evidentes para los expertos en el estado de la técnica mediante las referencias a las figuras que se acompañan. Estos dibujos se usan sólo para ilustrar realizaciones típicas de esta invención, y no deben ser considerados limitantes de su alcance, pues la invención puede admitir otras realizaciones igualmente efectivas. Las figuras no deben

necesariamente ser consideradas a escala y ciertas características y ciertas vistas de las figuras pueden ser mostradas exageradas en proporción o de forma esquemática en beneficio de la claridad y la concisión.

La figura 1 representa una vista esquemática de un sistema de análisis de infraestructura fuera del alcance de la presente invención.

5 Las figuras 2A y 2B representan una vista de un cimiento de torre según un ejemplo fuera del alcance de la presente invención.

Las Figuras 3A y 3B representan una vista esquemática de sistemas o métodos de colección de datos.

La Figura 4A representa una caracterización general de la corrosividad del suelo basada en medidas de resistividad del suelo.

Las Figuras 4B y 4C representan gráficas del pH versus la tasa de corrosión para el acero y el cinc respectivamente.
 La figura 4D representa una clasificación de la degradación.

La figura 5 representa una tabla de datos colectados durante una etapa de la colección de datos.

La figura 6 representa un ejemplo de una hoja de la colección de datos.

La figura 7 representa un diagrama de bloques de una unidad de infraestructura del sistema de análisis de 15 infraestructura.

Las figuras 8A y 8B representan una porción de una representación visual de la unidad de infraestructura.

La figura 9 representa una correlación de la puntuación de riesgo y la clasificación de la degradación creada por la unidad de análisis del riesgo de la unidad de infraestructura.

Las Figuras 10A-10C muestran demostraciones de varias puntuaciones de riesgo creadas por la unidad de 20 infraestructura.

La figura 10D representa una tabla mostrando una puntuación de riesgo total para una torre de transmisión.

La figura 11 representa una tabla que cataloga las fotos tomadas en la infraestructura energética 102 de cantidades de degradación en las patas.

La figura 12 representa una tabla generada por la unidad de infraestructura que describe la clasificación de la 25 degradación proyectada para cada torre de transmisión.

Las Figuras 13A-13D representan fotos de porciones de la infraestructura energética.

La figura 14 representa una vista esquemática de un sistema de análisis de tubería.

La Figura 15 representa la porción de una tubería con una o más secciones dañadas.

La Figura 16 representa una unidad de infraestructura de tubería según una realización.

Las Figuras 17A-17H representan un ejemplo de un reporte usado en conjunción con el sistema de análisis de la tubería de acuerdo con una realización.

Las Figuras 18A-18H representan capturas de pantalla de una representación visual de la unidad de infraestructura.

5 DESCRIPCIÓN DETALLADA DE LA(S) REALIZACIÓN (ES)

La descripción que se presenta a continuación incluye el aparato, los métodos, las técnicas, y las secuencias de instrucción a modo de ejemplo que están involucrados en la materia de la invención. Sin embargo, se tiene por entendido que las realizaciones descritas pueden ser puestas en práctica sin estos detalles específicos.

Las realizaciones pueden tomar la forma de una realización compuesta enteramente por hardware, una realización 10 compuesta enteramente por software (incluyendo el firmware, el software residente, el microcódigo, etc.) o una realización que combina aspectos de software y hardware que de forma general puede estar referido en el presente documento como un circuito, módulo o sistema. Además, las realizaciones de la materia de la invención pueden plasmarse en un producto de programa de computadora contenido en cualquier medio tangible de expresión que tenga un código utilizable de programa de computadora envuelto en el medio. Las realizaciones descritas pueden ser 15 suministradas como un producto de programa de computadora, o software, que puede incluir un medio legible mecánicamente que ha almacenado instrucciones, las cuales pueden ser usadas para programar un sistema de cómputo (u otro dispositivo electrónico (s)) para realizar un proceso de acuerdo a las realizaciones, ya sea que se hayan descrito o no en la presente, debido a que cada variación concebible no se ha listado en este documento. Un medio legible por máquina incluye cualquier mecanismo para almacenar o transmitir información en una forma (p.e., 20 Software, aplicación de procesamiento) legible por una máquina (p. e., una computadora). El medio legible por máquina puede incluir, pero no se limita a, un medio del almacenamiento magnético (p. e., disquete flexible); un medio del almacenamiento óptico (p. e., CD-ROM); un medio de almacenamiento magnetoóptico; Memoria sólo de lectura (ROM); Memoria de acceso aleatorio (RAM); memoria programable borrable (p.e., EPROM y EEPROM); memoria flash; u otros tipos de medio adecuado para almacenar comandos electrónicos. Además, las realizaciones pueden ser 25 contenidas en una forma eléctrica, óptica, acústica u otra de señal propagada (p.e., Ondas portadoras, señales infrarrojas, señales digitales, etc.), o alámbricas, inalámbricas, u otro medio de comunicaciones.

El código de programa de computadora para llevar a cabo operaciones de las realizaciones puede escribirse en cualquier combinación de uno o más lenguajes de programación, incluyendo un lenguaje de programación orientado a objetos tales como Java, Smalltalk, C++ o algún otro lenguaje de programación similar y/o convencionales, tales como el lenguaje de programación C o lenguajes similares de programación. El código de programa puede ejecutarse enteramente en la computadora de un usuario, parcialmente en la computadora del usuario, como un paquete autosostenible de software, en parte en la computadora del usuario y en parte en una computadora remota o enteramente en el servidor o computadora remota. En este último escenario, la computadora remota puede ser conectada a la computadora del usuario a través de cualquier tipo de red, incluyendo una red de área local (LAN), una red de área personal (PAN), o una red de área extendida (WAN), o la conexión puede hacerse para una computadora externa (por ejemplo, a través de Internet usando un proveedor de servicio de Internet).

La Figura 1 representa una vista esquemática de un sistema de análisis de infraestructura 100. El sistema de análisis de infraestructura 100 puede ser para analizar condiciones y/o daños a una infraestructura energética 102. Como se

muestra, el sistema de análisis de infraestructura 100 consiste en un conjunto de torres de transmisión 100 para el soporte de una línea de transmisión 106. El sistema de análisis de infraestructura 100 puede tener la infraestructura energética 102, uno o más trabajadores de campo 108, una o más herramientas de colección de datos 110, uno o más dispositivos de entrada de datos 112, una red de comunicación 114 y una unidad de infraestructura 116. Además, el sistema de análisis de infraestructura 100 puede tener uno o más trabajadores de análisis 118 en una compañía de servicio 120. La compañía de servicio 120 puede contratarse para realizar análisis, mantenimiento, reparación, y/o construcción en la infraestructura energética 102. Además, el sistema de análisis de la infraestructura 100 puede comunicarse con la compañía del cliente 122. La compañía del servicio 120 y o la compañía del cliente 122 pueden tener cualquier número de computadoras 124 las cuales pueden tener la unidad de infraestructura 116 en ese lugar.

10 En adición a, o como alternativa a uno o más dispositivos de entrada de datos 112, el trabajador de campo puede tener una computadora 124.

Las torres de transmisión 104 pueden ser cualesquiera torres de transmisión o soportes de la línea de transmisión adecuadas. Las torres de transmisión 104 pueden tener una o más patas 126 y uno o más cimientos de torre 128. Los cimientos de la torre 128 pueden asegurarse en un suelo 130 (A-D) para fijar en su lugar la torre de transmisión 104.

15 Los cimientos de la torre 128 pueden asegurar a las patas 126 o pueden ser integrales con estas. La base de la torre 128 pueden ser cimentaciones de componentes acerados teniendo múltiples componentes tal como se muestra en las Figuras 2A y 2B. El suelo 130A-D en cada una de las torres de transmisión 104 puede ser similar o puede variar en cada torre de transmisión 104 o en cada pata 126.

El trabajador de campo 108 puede ser cualquier trabajador adecuado (como un técnico o un ingeniero) que es enviado a la infraestructura energética 102 para recolectar datos durante la fase de colección de datos del proyecto. El trabajador de campo 108 puede ingresar los datos colectados directamente en uno o más dispositivos de entrada de datos 112 y/o la computadora 124 a medida que los datos son recopilados en el campo. Una o más herramientas de colección de datos 110 pueden comunicarse directamente con uno o más dispositivos de entrada de datos 112 y o la computadora 124 o el trabajador de campo 108 pueden ingresar los datos colectados de forma manual. A medida que los datos son recopilados, uno o más dispositivos de entrada de datos 112 y o la computadora 124 pueden enviar los datos a la unidad de infraestructura 116 situada en torno al sistema de análisis de infraestructura 100. El trabajador de campo 108 puede colectar datos para una de las torres de transmisión 104 y luego puede pasarse a las siguientes torres de transmisión 104, o torres de transmisión seleccionadas 104, en la infraestructura energética 102. Adicionalmente, el trabajador de campo 108 puede colectar datos a partir de únicamente unas pocas torres de transmisión 104 seleccionadas y entonces puede usar el sistema de análisis de infraestructura 100 para predecir las condiciones de las otras torres de transmisión 104 y formular un plan de proyecto, o un plan de implementación.

La red de comunicación 114 permite la comunicación sobre el sistema de análisis de infraestructura 100 y puede ser cualquier red adecuada incluyendo aquellas que aquí son descritas.

El trabajador de campo 108 puede colectar datos a partir de toda, o de porciones de, la infraestructura energética102 durante una fase de colecta de datos del proyecto. Durante la fase de colecta de datos el trabajador de campo 108 puede usar las herramientas de la colección de datos 110 y/o la observación de la infraestructura energética 102. La colección de datos puede tener lugar durante las inspecciones rutinarias de la estructura incluyendo, pero no limitado a, las inspecciones anuales, el plan de mantenimiento, las llamadas específicas de servicio y similares. La colección de datos puede incluir la identificación de áreas candidatas para las inspecciones detalladas, la medición del potencial de la estructura de corriente continua y de corriente alterna para un Electrodo de

Sulfato de Cobre (CSE). El potencial electroquímico de una estructura (por ejemplo, la torre de transmisión) puede estar relacionado con la actividad de corrosión. Por ejemplo, el potencial de acero puede ser -0.550V a -0.800V (CSE). El potencial de estructuras más nuevas es más electronegativo. El potencial de estructuras revestidas puede ser más electronegativo. El potencial de acero empotrado en cemento armado puede ser de 0.250 a -0.550V (CSE). El potencial de estructuras galvanizadas, -0.800V (CSE) y el potencial de cobre esta entre -0.200 a -0.300V (CSE). Por consiguiente, la colección de datos puede incluir a medir el potencial de la torre hacia suelo como se muestra en la Figura 3A.

La colección de datos puede incluir, pero no está limitada a, unas medidas de la resistividad del suelo mediante el método de cuatro puntas de Wenner. La resistividad del suelo en cada torre de transmisión 104 puede ser medida 10 usando el método de cuatro puntas de Wenner en un lugar para varias profundidades representando la profundidad de la estructura, por ejemplo, una profundidad de uno, dos y tres pies (como se muestra en la Figura 1). La figura 3B es una vista esquemática de una colección de datos y los cálculos asociados. En lo referente a Figura 3B, d = espaciado = profundidad (cm(ft)) y para determinar resistencia (R, ohmios) se calcula la resistividad (p, ohm-cm) dónde p = 191 .5 *d *R.

15 La colección de datos puede incluir, pero no está limitada a, mediciones electroquímicas y físicas. El protocolo de evaluación de las torres de transmisión 104 pueden usar una combinación de medidas electroquímicas y físicas que son usadas para determinar como de propensas son las estructuras a la corrosión por causas ambientales. Estos métodos de colección de datos pueden incluir, pero no están limitados a, mediciones de la corriente alterna, mediciones de la corriente continua, mediciones de la tasa de corrosión LPR (para determinar la tasa de corrosión relativa del suelo), el pH del suelo, la resistividad del suelo, la química del suelo, el potencial redox (oxidación-reducción), el grosor del recubrimiento, la documentación de la degradación, la evaluación o ensayos no destructivos (los cuales son referidos comúnmente como examen "NDE") de una estructura (por ejemplo, la torre, la tubería, etc.) y similares.

La medición de voltaje de corriente alterna puede incluir una prueba de seguridad de alto voltaje que primero se lleva a cabo para comprobar que la estructura es segura para funcionar cerca. Una prueba de voltaje de corriente alterna entonces puede ser hecha en cada pata 126 de la torre de transmisión 104 (como se muestra en la Figura 1). La prueba de voltaje de corriente alterna puede ser realizada colocando un electrodo de referencia de sulfato de cobrecobre a una distancia de treinta a cuarenta y seis centímetros (doce a dieciocho pulgadas) de la pata de la torre. La media celda puede estar conectada a la terminal común del multímetro Fluke y la torre puede ser conectada a un terminal positivo del voltímetro como se muestra en la Figura 3A. Un criterio de quince voltios de máximo puede usarse para determinar si hay un riesgo de choque.

La medida de voltaje de corriente continua puede ser realizada en cada pata 126 de la torre de transmisión 104 (como se muestra en la Figura 1) de la misma manera como las medidas de corriente alterna excepto que el voltímetro debe estar dispuesto para medir el voltaje de la corriente continua. El potencial electroquímico del acero galvanizado supuestamente es más negativo que -0.750 voltios cuando el galvanizado es nuevo y está intacto y no se ve afectado adversamente por concentraciones altas de carbonatos y nitratos en el suelo (CSE). Estos compuestos pueden pasivar el cinc y pueden impulsar el potencial electroquímico en la dirección positiva. El potencial electroquímico del acero al carbono desprotegido en suelos supuestamente es de entre -0.650 voltios a -0.750 voltios (CSE) cuándo es expuesto por vez primera y migrará en la dirección positiva con el paso del tiempo a medida que la corrosión progrese. El acero al carbono unido al cobre puede exhibir potenciales que esté en el rango de -0.400 voltios (CSE). Un potencial de -

0.550 (CSE) voltios es considerado un potencial libre de corrosión típico del acero al carbono que ha experimentado alguna corrosión. El acero al carbono cuando se une al cobre puede exhibir potenciales que se encuentran en el rango de - 0.400 voltios (CSE).

Las medidas de la resistividad del suelo pueden ser tomadas para varias profundidades debajo del nivel del suelo para evaluar el potencial de corrosión del suelo que rodea a la porción sepultada de la estructura. La resistividad del suelo es la inversa de la conductividad y puede proveer una indicación de la corrosividad del suelo. La figura 4A representa una caracterización general de la corrosividad del suelo basada en medidas de la resistividad del suelo. Los datos mostrados en la figura 4A indican que hay áreas de valores más altos de resistividad del suelo que son típicas de las condiciones del terreno elevado y del suelo.

10 La tasa de corrosión de una sonda de acero al carbono instalada en el suelo a una distancia de tres pies de cada pata de la torre fue medida y registrada usando un Medidor de la Resistencia a la Polarización Lineal (LPR). La ecuación 2.1 que se indica a continuación se usó para calcular la tasa de corrosión a partir de las medidas: La tasa de corrosión de la sonda de acero al carbono que se instaló en el suelo en una distancia de tres pies de cada pierna de la torre fue medida y registrada usando un medidor Lineal de Resistencia de Polarización (LPR). La ecuación 2.1 que se indica a continuación se usó para calcular la tasa de corrosión de las medidas:

$$Rp = (\partial E/\partial I)i = 0$$

$$i_{corr} = (1/R_p)\beta_a \beta_c / 2.303 (\beta_a + \beta_c)$$

$$CR(mpy) = i_{corr} \times 129 \times WT / n \times d$$
(Ecuación 1)

El pH del suelo en cada pata de la torre fue medido y registrado utilizando un multímetro Fluke conectado a un electrodo de referencia de sulfato de cobre- cobre saturado (el contacto terminal negativo -) y una celda de referencia de 20 antimonio (el contacto terminal +).

El pH del suelo es una indicación del grado de su acidez o la alcalinidad. El pH es definido como el logaritmo negativo de la concentración de iones de hidrógeno del medio ambiente como se describe en la siguiente ecuación:

(Ecuación 2)

25 Un pH de 7 es considerado neutral e indica que el número de iones de hidrogeno en la solución es iguale al número de iones hidroxilos en la solución. La relación del pH respecto al impacto de corrosión para el acero y el cinc es mostrada en las Figuras 4B y 4C.

Una revisión de los datos indica una tendencia global de las torres que están en suelos desde 2.6 a 9.7 con el promedio de 5.2. Generalmente el bajo pH de un suelo indica una corrosividad elevada tanto para el galvanizado como el acero.

Debería notarse que una sola unidad de cambio de pH causa un factor de aproximadamente 10 de incremento o de la disminución en la tasa de corrosión.

El potencial redox fue medido y registrado para cada torre. Los potenciales redox son una indicación del potencial de óxido-reducción del medio ambiente del suelo. Se usan típicamente para determinar la propensión de la actividad microbiana en el suelo que puede contribuir a la corrosión inducida microbiológicamente y en particular, la corrosión inducida por bacterias reductoras del sulfato (MIC). Los valores que son menores de 150 milivoltios indican una tendencia moderada de MIC mientras los valores negativos indican una tendencia severa de MIC.

El espesor del recubrimiento fue medido y registrado usando un cáliper electrónico de espesor de la película del recubrimiento para probar el espesor del recubrimiento de cinc en dos lugares en cada pata de la torre. Un lugar fue treinta centímetros (12 pulgadas) arriba del nivel del suelo y la otra fue treinta centímetros (12 pulgadas) debajo del nivel del suelo.

Aunque varios sistemas de colección de datos, métodos y/o los dispositivos están descritos se debe apreciar que cualquier sistema adecuado de colección de datos, métodos y/o dispositivos pueden ser usados. Durante cada uno de los métodos de colección de datos, el trabajador y/o las herramientas de colección de datos pueden introducir los resultados de la colección de datos en el dispositivo de entrada de datos 112 y/o la computadora 124.

La fase de colección de datos puede determinar cualquier número de elementos de datos para cada una de las torres de transmisión 104, las bases de la torre 128, y/o las patas 126. En un ejemplo, hasta dieciséis elementos de datos fueron colectados para asistir en la predicción de la probabilidad de corrosión y para medir la corrosión actual en las torres de transmisión 104. Los elementos de datos pueden incluir, peno están limitados a, coordenadas GPS, potencial 20 del suelo de torres de corriente alterna, potencial del suelo de torres de corriente continua, medición de la tasa de corrosión LPR, patrón de corrosión visual, longitud de la pérdida de sección, profundidad máxima del hoyo, química del suelo (cloruros, sulfatos, pasivación incluyendo nitratos y bicarbonatos carbonatos, pH de celda de antimonio, potencial redox, espesor del revestimiento 12" arriba del suelo, espesor del revestimiento 12" debajo del suelo, resistividad del suelo, variación de la resistividad del suelo, tipo de suelo, topografía, vegetación, fotografía, 25 comentarios, factor(es) electroquímicos (por ejemplo el potencial de estructura, la variación del potencial de la estructura, y tasa de corrosión), factor(es) de interferencia de la corriente de fuga, factor(es) del diseño (por ejemplo, el tipo de estructura y el terreno de cobre), factores de corrosión visuales (por ejemplo la corrosión general, la pérdida de sección o las picaduras), factor(es) de protección catódica (por ejemplo la protección catódica aplicada y el nivel de protección) y similares. Varios elementos de datos son mostrados en la Figura 5. Los elementos de datos pueden 30 ser seleccionados en la base su relevancia para la probabilidad de corrosión en áreas localizada de las torres individuales y/o pérdida de la pared actual

Los datos colectados y/o los elementos de datos para cada una de las torres de transmisión 104 examinadas pueden ser enviados a la unidad de infraestructura 116 por la unidad de entrada de datos 108, la computadora 124 usada por el trabajador de campo 108, y/o introducido por el trabajador 118 en la compañía de servicio 120. El trabajador 118 en la compañía de servicio 120 puede ingresar los datos en la unidad de infraestructura 116 a partir de los datos colectados en la hoja de colección de datos 600 como se muestra en la Figura 6.

La Figura 7 representa un diagrama de bloques de la unidad de infraestructura 116 según una realización. La unidad de infraestructura 116 puede incluir un dispositivo de almacenamiento 700, una unidad de colección de datos 702, una

unidad de análisis del riesgo 704, una unidad comparativa de análisis 706, una unidad predictiva de análisis 708, una unidad de implementación 710 y una unidad del transceptor 712. La unidad de almacenamiento 700 puede ser cualquier dispositivo adecuado de almacenamiento para almacenar datos. La unidad del transceptor 712 puede ser cualquier dispositivo adecuado configurado para enviar y/o recibe datos para la unidad de infraestructura 116. La unidad de infraestructura 116 puede estar completamente o parcialmente localizada en una o más herramientas de colección de datos 110, uno o más dispositivos de entrada de datos 116, las computadoras 124 y/o la red 114.

La unidad de colección de datos 702 puede colectar todos los datos incluyendo, pero no limitado a, el aporte por el trabajador de campo 108 en una o más herramientas de colección de datos 110 y/o la computadora 124. La unidad de colección de datos 702 entonces puede identificar elementos importantes de datos de los datos recolectados. La unidad de datos 702 entonces puede organizar, almacenar, formar categorías, y manipular los datos recolectados para las necesidades del proyecto. La unidad de colección de datos 702 puede fomentar el mantenimiento de los históricos relacionados a cualquiera de los datos colectados, los elementos de datos, y/o infraestructura energética 102 a medida que los datos son coleccionados.

La unidad de análisis del riesgo 704 puede recibir información de la unidad de colección de datos 702 para determinar el riesgo, o los factores de riesgo, en la infraestructura energética 102. La unidad de análisis del riesgo puede tener una de herramienta de análisis de la transmisión de la corrosión (o "TCAT"), una versión torre, y un sistema de información gráfica (o "GIS"). La unidad de análisis del riesgo 704 puede evaluar, puede manipular, puede analizar y puede caracterizar los datos de la unidad de colección de datos 702 para determinar riesgos, daño, y asuntos similares de la infraestructura energética 102 que han sido observados. La unidad de análisis de riesgo 704 puede analizar los datos y puede clasificar la degradación en la estructura eléctrica incluyendo, pero no limitado a, las patas individuales, las torres, los circuitos. La unidad de análisis del riesgo 704 puede correlacionar la clasificación de la degradación con las puntuaciones de riesgo y puede realizar una valoración global de la infraestructura energética 102 inclusive, pero no limitado, las patas 126, las torres de transmisión 104, los cimientos 128, y los circuitos.

El TCATTM deja a los trabajadores adquirir, almacenar y manejar datos relacionados a la torre y el desempeño oportuno 25 de los cálculos ordenados por rango del riesgo. Esto puede permitir la identificación rápida de torres con el riesgo más alto de degradación y el direccionamiento oportuno de los equipos de reparación para esas torres de transmisión de riesgo elevado 104. Las Figuras 8A-8B representan una porción de una representación visual del TCAT™. El modelo TCAT™ puede usar un algoritmo desarrollado por alguien que tenga habilidades comunes en el estado de la técnica de la ciencia de corrosión y los valores de medidas electroquímicas en el campo. A manera de ejemplo este algoritmo integra dieciséis elementos de datos, por ejemplo, dieciséis medidas electroquímicas, químicas y físicas para la infraestructura de la energía eléctrica 102, como las torres de transmisión 104, las patas 126, y similares. El algoritmo puede determinar o puede inferir en la probabilidad relativa de corrosión de esa infraestructura energética. Para continuamente mejorar la función del modelo, la información directa o la información usada para inferir condiciones pueden integrarse, por ejemplo, los datos subterráneos de condición de inspección directa de los cimientos pueden ser introducidos en la computadora con observaciones directas. Esto permite que el modelo TCAT™ y el desempeño del equipo de evaluación mejoren en tiempo real a medida que los datos son recolectados para un proyecto específico de evaluación, o un proyecto de implementación. El modelo TCAT™ y/o la unidad de análisis del riesgo 702 puede caracterizar características del suelo, factores electroquímicos, interferencias eléctricas, diseño, protección catódica, topografía, y similares para la infraestructura energética 102.

La unidad de análisis del riesgo 702 y/o el TCAT™ puede proporcionar la descripción de las clasificaciones de degradación y la correspondiente puntuación total de riesgo para esas clasificaciones en base a los datos obtenidos a partir de la fase de colección de datos. La puntuación total del riesgo puede ser creada integrando los resultados de la inspección directa subterránea de las bases/anclas de la torre 128 con puntuaciones de riesgo correspondientes.

5 Durante el curso de la colección de datos, el proyecto, y/o el proyecto de implementación, las correlaciones pueden ser reconocidas entre las puntuaciones de riesgo y los alcances de pérdida de metal en la infraestructura energética 102. La Figura 9 representa una correlación de la puntuación de riesgo y la clasificación de la degradación creada por la unidad de análisis del riesgo 702. Las figuras 10A-10C muestran demostraciones de varias puntuaciones de riesgo ordenadas por el riesgo global de la torre, riesgo más alto de la pata o riesgo más alto en cada uno de los dos circuitos.

10 Las representaciones visuales dejan al equipo de implementación rápidamente revisar e identificar las porciones altas de riesgo de la estructura energética 102.

El modelo de predicción de la corrosión TCATTM y/o la unidad de análisis del riesgo 702 puede proveer un ranking relativo de la severidad de la degradación de las torres de transmisión 104 (tal como se muestra en la Figura 1). La figura 10D representa una tabla 1004 mostrando una puntuación de riesgo total para una torre de transmisión. La puntuación de riesgo total generalmente incrementa con los niveles incrementados de degradación.

La unidad de análisis del riesgo 702 puede determinar el grado de degradación para cada torre de transmisión 104, por ejemplo, en las patas 126. La figura 11 representa una tabla 1100 enumerando fotos tomadas en la infraestructura energética 102 de cantidades de degradación en las patas 126. La tabla 1100 también puede proveer un listado de fotos de la degradación de la base de la torre 128.

20 La unidad comparativa de análisis 706 (tal como se muestra en la Figura 7) puede comparar los datos colectados, los elementos de datos, los modelos TCAT™, los modelos de riesgo, para cada una de las porciones de la infraestructura energética 102. Por ejemplo, la unidad de análisis comparativa 706 puede comparar las diferentes torres de transmisión 104 en la infraestructura energética 102. La unidad de análisis comparativa 706 puede determinar grados variantes de riesgo, rendimiento, y o la degradación para cada una de las torres de transmisión 104.La unidad de 25 análisis predictivo 708 puede tomar los datos de la unidad de colección de datos 702, la unidad de análisis del riesgo 704 y la unidad de análisis comparativa 706 para predecir la función futura de las porciones de la infraestructura 102 que ha sido modelada. Esto puede dejar al equipo de implementación determinar un mantenimiento y/u horario de la reparación para la infraestructura energética. La unidad p de análisis predictivo 708 puede pronosticar la degradación de las porciones de la infraestructura energética 102. Por ejemplo, un análisis de ciclo de vida basado en la corrosión puede ser desarrollado usando los criterios de clasificación de la degradación en la Figura 4D. Este análisis de ciclo de vida puede ser realizado integrando el análisis estructural y/o la consecuencia de un fallo en los datos con la unidad de análisis del riesgo 704. Estos análisis de ciclo de vida permitirán la priorización de la infraestructura energética incluyendo, pero no limitado a, los cimientos 128, las torres de transmisión 102, las patas 126, y o los circuitos. Esto puede dejar al equipo de implementación desarrollar un plan de renovación multianual para la infraestructura 35 energética 102.

La unidad de análisis relativo 709 puede tomar los datos de la unidad de colección de datos 702, la unidad de análisis de riesgo 704, la unidad de análisis comparativo 706 y la unidad de análisis predictivo 708 con el fin de predecir la condición presente y futura de las porciones de la infraestructura energética 102, y/u otros sistemas de infraestructura, de los cuales ninguno, o pocos, datos han sido colectados. Basándose en los datos conocidos de la infraestructura energética medida 102, la unidad de análisis relativo 709 puede determinar con un grado alto de probabilidad el estatus

y el estatus futuro de la infraestructura energética 102. Esto puede dejar al equipo de implementación determinar un mantenimiento y/u horario de reparación para la infraestructura energética que aún no ha sido medida y/u observada. Esto puede ahorrar tiempo y dinero de los equipos de trabajo.

La unidad de implementación 710 puede tomar los datos de la unidad de colección de datos 702, la unidad de análisis del riesgo 704, la unidad de análisis comparativo 706, la unidad de análisis predictivo 709, y la unidad de análisis relativo 709 para crear un plan de implementación. El plan de implementación puede incluir, pero no está limitado a, planes de mantenimiento y horarios, planes de reparación y horarios, y planes de construcción y horarios, planes de mitigación de corrosión y horarios para cualquiera de los componentes de la infraestructura energética 102.

El grado de degradación de la infraestructura energética 102 (tal como se muestra en la Figura 1) tal como los cimientos 128 puede ser distribuido sobre una gran variedad de grados de degradación extendiéndose desde muy poco de pérdida de metal hasta un 100 % en algunos componentes. La unidad de infraestructura 116 pueden realizar el análisis de ciclo de vida en la infraestructura energética 102. El análisis de ciclo de vida puede proveer un horario de priorización de cuando remediar cada una de las torres de transmisión 104. Por consiguiente, la unidad de infraestructura 116 puede desarrollar un plan de reparación de costo eficiente multianual, plan de reparación, de mantenimiento y o plan de construcción en todo el sistema. La degradación proyectada determinada por la unidad de infraestructura 116 puede ayudar en la oportunidad del momento de reparación de la infraestructura energética 102, por consiguiente, prolongando la vida del equipo y ahorrando dinero para el dueño de la infraestructura energética.

En un ejemplo, las pérdidas estimadas de la pared a partir de las estimaciones visuales por el trabajador de campo 108 fueron utilizadas como una línea base. Las tasas de corrosión fueron estimadas por la unidad de infraestructura 116, por ejemplo, a partir de las medidas electroquímicas hechas en las torres de transmisión 104. Con las tasas de corrosión, las proyecciones de clasificaciones de la degradación fueron hechas para tres, cinco y diez años en el futuro. La Figura 12 representa una tabla 1200 generada por la unidad de infraestructura 116 que representa la clasificación de la degradación proyectada para cada torre de transmisión 104 (como se muestra en la Figura 1) que puede ser evaluada. Se estima que los niveles amarillos, naranjados y rojos de degradación pueden conllevar a un 25 compromiso estructural de la torre de transmisión 104. La unidad de infraestructura 116 pueden decidir qué torre de transmisión 104 necesita medidas de mitigación basadas en la tabla 1200. Las medidas mitigantes pueden prevenir a la torre de transmisión 104 de experimentar un nivel más alto de la clasificación de degradación.

En un ejemplo de una operación realizada, cincuenta por ciento de los cimientos 128 (tal como se muestra en la Figura 1) que estaban evaluados tuvieron una degradación de categoría 4 o mayor. Esto es indicativo de una pérdida de 30 metal entre treinta a cien por ciento en algunos componentes de los cimientos 128. La degradación tendió a ser más severa en la interfaz de aire/suelo de las bases 128. En la interfaz de aire/suelo el borde del hierro angular tuvo la máxima corrosión como el resultado del recubrimiento de cinc siendo más escaso en los bordes y los bordes siendo más susceptible al daño mecánico. Por ejemplo, en la pata B de la torre ADCM-2-156 las porciones de un soporte de hierro angular se habían completamente corroído y el resto del ligamento estaba agrietado como se muestra en la Figura 13A.

La reparación puede implicar la excavación de cada pata afectada de la torre para ser remediada a una profundidad de tres pies, la limpieza del emparrillado de acero expuesto a un Estándar de Limpieza SSPC, la solicitud de una pieza de protección o el reemplazo del componente degradado de la torre. La reparación también puede incluir la barrena y la adhesión de uno (1) o más ánodos de magnesio de alto potencial a cada pata de la torre u otro componente

enterrado. la documentación fotográfica, y los ensayos y documentación del desempeño de la puesta en marcha (utilización).

Las Figuras 13A-13D representan fotos de porciones del sistema de infraestructura. Para más referencia a un sistema existente de infraestructura, por favor refiérase a la solicitud de patente n° 61/482,538 y 61/598,192, cuyo beneficio de la prioridad es reivindicado, y cuyas divulgaciones son incorporadas mediante referencia a la presente solicitud.

La Figura 14 representa una vista esquemática de un sistema de análisis de la tubería 1400. El sistema de análisis 1400 puede utilizarse para analizar las condiciones y/o el daño a unas tuberías y/o la infraestructura de la tubería 1402. Como se muestra, la infraestructura de la tubería 1402 es una tubería 1404 para transportar gases o fluidos a través de ella. El sistema de análisis de la tubería 1400 puede tener la infraestructura de la tubería 1402, uno o más trabajadores de campo 1408, herramientas de colección de uno o más datos 1410, dispositivos de entrada de uno o más datos 1412, una red de comunicación 1414 y una unidad de infraestructura de la tubería 1416. Además, el sistema de análisis de la tubería 1400 puede tener uno o más trabajadores de análisis 1418 en una compañía de servicio 1420. La compañía de servicio 1420 puede ser contratada para realizar análisis, mantenimiento, reparación, y/o construcción en la infraestructura de la tubería 1402. Adicionalmente, el sistema de análisis de la tubería 1400 puede comunicarse con una compañía del cliente 1422. La compañía de servicio 1420 y/o la compañía del cliente 1422 puede tener cualquier número de computadoras 1424 que pueden tener la unidad de infraestructura de la tubería 1416 allí dentro. Además de, o como una alternativa a, uno o más dispositivos de entrada de datos 1412, el trabajador de campo puede tener una computadora 1424.

La infraestructura de la tubería 1402 puede tener la tubería 1404 con una o más porciones dañadas 1426a-e (o más).

Además, la infraestructura de la tubería 1402 puede tener algunos equipos o dispositivos adecuados para soportar el transporte de gases o los fluidos en la tubería 1404 incluyendo, pero no limitado a, los soportes de la tubería 1428, estaciones del compresor (no mostrado), bombas (no mostrado), válvulas, y similares.

Las porciones dañadas 1426 de la tubería 1404 pueden ser debidas a la corrosión de la tubería 1404. Además, las porciones dañadas 1426 pueden deberse a cualesquiera factores adecuados incluyendo, pero no limitado a, el clima, el pH de suelo, corrosión catódica, corrosión biológica 1404 y similares. Además, la porción dañada puede tener daño estructural debido a la instalación, impacto, vandalismo, y similares.

El trabajador de campo 1408 puede ser cualquier trabajador adecuado (como un técnico o un ingeniero) que es enviado a la infraestructura de la tubería 1402 para colectar datos durante una fase de colección de datos del proyecto. El trabajador de campo 1408 puede introducir en la computadora los datos colectados directamente en uno o más dispositivos de entrada de datos 1412 y/o la computadora 1424 a medida que los datos son colectados en el campo. Una o más herramientas de colección de datos 1410 pueden comunicarse directamente con uno o más dispositivos de entrada de datos 1412 y/o la computadora 1424 o el trabajador de campo 1408 pueden introducir en la computadora los datos colectados de forma manual. A medida que los datos son colectados, uno o más dispositivos de entrada de datos 1412 y/o la computadora 1424 pueden enviar los datos a la unidad de infraestructura de la tubería 1416 localizada alrededor del sistema de análisis de la tubería 1400 (s). El trabajador de campo 1408 puede recolectar datos de la tubería 1404 dado que el trabajador de campo 1408 viaja a lo largo de la tubería 1404. Adicionalmente, el trabajador de campo 1408 puede recoger datos en sólo una sección seleccionada de la tubería 1404 y entonces puede usar el sistema de análisis de la tubería 1400 para predecir las condiciones a lo largo de la tubería 1404 y formular un plan de proyecto, o un plan de implementación.

Una o más herramientas de colección de datos 1410 pueden ser cualquiera del dispositivo (s) adecuados para mediar las condiciones alrededor de la infraestructura de la tubería 1402. En una realización, el trabajador de campo 1408 puede usar un cáliper para medir la corrosión en las porciones dañadas 1426. El cáliper puede ser cualquier cáliper adecuado incluyendo, pero no limitado, un cáliper digital. Adicionalmente, la herramienta de colección de datos 1410 puede ser cualesquiera de las herramientas adecuadas para colectar datos relacionados al daño y factores contribuyentes incluyendo, pero no limitado, un escáner láser, herramientas acústicas, cámaras, dispositivos de GPS, equipo de planimetría, probador/evaluador de suelo (tal como el pH, la resistividad o redox), potenciales de estructura referidos a las celdas de referencia de sulfato de cobre-cobre, condiciones de cubierta, pH del agua, la experiencia de trabajadores de campo, los monitores de presión, flujómetros, un computador manual con características de entradas de uno a más datos, herramientas de colección de datos descritas aquí, y similares.

La red de comunicación 1414 permite la comunicación alrededor del sistema de análisis de la tubería 1400 y puede ser cualquier red adecuada incluyendo aquellas descritas aquí.

El trabajador de campo 1408 puede recoger datos en toda, o las porciones de, la infraestructura de la tubería 1402 durante una fase de recolecta de datos del proyecto. Durante la fase de recolecta de datos el trabajador de campo 1408 puede usar las herramientas de colección de datos 1410 y/o la observación en la infraestructura de la tubería 1402. La colección de datos puede tener lugar durante las inspecciones de la tubería rutinarias incluyendo, pero no limitado a, las inspecciones anuales. Adicionalmente, la colección de datos puede tener lugar debido a la identificación de un problema específico a lo largo de la tubería incluyendo, pero no limitada, a una tubería que filtra, una porción corroída de la tubería y similares.

La colección de datos puede incluir la identificación de las porciones dañadas 1426ª-e. Tras la identificación de un área dañada, el trabajador de campo 1408 puede realizar una investigación más cabal del daño. Por ejemplo, el trabajador de campo 1408 puede determinar tanto externamente e internamente el tamaño del área corroída, la profundidad de la corrosión en la tubería, la erosión de espesor de la pared en la tubería, la resistividad del suelo, el tipo del suelo, los potenciales de tubería a suelo, el material con el que la tubería se construye, el tipo de espesor y la condición del recubrimiento en la tubería, el recubriendo dañado, los datos del recubriendo, el tamaño de defecto y/o el lugar, la pintura en la tubería, la pintura dañada, tipo y condición de la soldadura, el análisis magnético de la partícula para la identificación de la grieta, el contenido de pH, el mapeo de áreas dañadas, el análisis de la fuerza remanente del defecto, análisis del producto de corrosión, fotos o imagen digital, las dimensiones de las áreas excavadas, representaciones del sitio, profundidad de cubierta, posicionamiento global, y otras cosas similares. Además, una galga de inspección de tuberías digital puede colectar los datos referentes a la condición de la tubería a medida que la galga de inspección de tuberías viaja a través de las tuberías.

Los datos colectados pueden ser automáticamente, y/o de forma manual introducidos en la computadora en uno o más dispositivos de entrada de datos 1412 y/o la computadora 1424. Uno o más dispositivos de entrada de datos 1412 pueden ser dispositivos adecuados de entrada de datos incluyendo, pero no limitado, a una tablet, un asistente digital personal, un Smartphone, un ordenador portátil un ordenador de sobremesa, o cualquier dispositivo adecuado de ingreso de datos descrito aguí y similares.

La figura 15 muestra dos porciones dañadas 1426a y 1426b a modo de ejemplo. Como se muestra, la porción dañada 1426a puede ser una porción corroída muy pequeña de la tubería. El trabajador de campo 1408 puede colectar datos estimando esta porción dañada 1426a y puede proveer un lugar en la tubería 1404 para la unidad de infraestructura

de la tubería 1416 por medio de cualquier método adecuado descrito en este escrito. La porción dañada 1426b puede ser un área dañada más grande que requiere más análisis detallado, o mapeo de la corrosión. Como se muestra, una cuadrícula de corrosión 1500 puede ser trazada en la tubería 1404. Las herramientas de colección de datos 1410 pueden trazar un mapa de las condiciones específicas de la corrosión a lo largo de la cuadrícula entera de corrosión 1500. La cuadrícula de corrosión 1500 puede ser trazada en la tubería 1404 por el trabajador de campo 1408, o puede ser puesta sobre la tubería 1404 mediante una de las herramientas de colección de datos. Una vez los datos son coleccionados, se idea e implementa un plan de mitigación para asegurar que no haya fallos de la tubería como estará descrito en más detalle debajo.

Los datos colectados y/o los elementos de datos para cada una de las tuberías 1404 prospectadas pueden ser enviados a la unidad de infraestructura de la tubería 1416 por las herramientas de colección de datos 1410, los dispositivos de entrada de datos 1412, la computadora 1424 usada por el trabajador de campo 1408, y/o ingresados por el trabajador 1408 en la compañía de servicio 1420. El trabajador 1418 en la compañía de servicio 1420 puede introducir en la computadora los datos en la unidad de infraestructura de la tubería 1416 a partir de datos colectados en la fase de recolección de datos.

15 La Figura 16 representa un diagrama de bloque de la unidad de infraestructura de tubería 1416 de acuerdo a una realización. La unidad de infraestructura 1416 puede incluir un dispositivo de almacenamiento 1600, una unidad de colección de datos 1602, una unidad de análisis de riesgo 1604, una unidad de análisis predictivo 1606, una unidad de mitigación 1608, una unidad de implementación 1610, y/o una unidad de transceptor 1612. El dispositivo de almacenamiento 1600 puede ser cualquier dispositivo adecuado de almacenamiento para almacenar datos. La unidad de infraestructura de la tubería 1416 puede estar completamente o parcialmente localizada en una o más herramientas de colección de datos 1410, uno o más dispositivos de entrada de datos 1412, las computadoras 1424, en la compañía de servicio 1420, compañía del cliente 1422 y/o con el trabajador de campo 1408, y/o la red 1414.

25 La unidad de análisis de riesgo 1604 puede tener una herramienta del análisis de la corrosión y de transmisión (TCAT™), versión tubería. El TCAT les permite a los trabajadores adquirir, almacenar y manejar datos relacionados a tubería y realizar oportunamente los cálculos ordenados por rango del riesgo. Esto puede permitir la identificación rápida de secciones/áreas de la tubería con daño y/o el riesgo más alto de daño y la dirección oportuna de los equipos de reparación para esas tuberías altas de riesgo 1404 y/o la porción dañada 1426. A modo sólo de ejemplo, las Figuras 30 18A a 18H representan varias capturas de pantalla de una representación visual (con anotaciones agregadas) de la TCAT™ (la Figura 18A representa una captura de pantalla de un ejemplo principal permitiendo el acceso al usuario a pantallas secundarias incluyendo los datos del hueco de la campana, datos de anomalía, la representación de anomalía, y fotos/imágenes; y las Figuras 18B-18H representan varias capas de ejemplo opcionalmente accesibles desde la pantalla principal incluyendo la Figura 18B que representa una pantalla de acceso de datos del hueco de la 35 campana, que comprende selecciones desplegables para mejorar la consistencia de los datos y que permite la entrada de datos en los huecos de la campana; la Figura 18C representa una pantalla de acceso de datos de anomalía de la tubería; la Figura 18D representa una pantalla de acceso de datos de anomalía del recubrimiento; la Figura 18E representa una pantalla externa de acceso de datos de la celda de corrosión; La figura 18F representa una pantalla externa de acceso de datos de la cuadrícula de corrosión; la Figura 18G representa una representación de anomalía de la tubería visual y/o una pantalla de acceso de datos; La Figura 18H representa un conjunto estándar de fotos o una pantalla de acceso a datos de imagen digital donde un usuario pueda ampliar una foto específica seleccionándolo en el sistema de interface de usuario). El TCAT™ puede usar un algoritmo desarrollado por expertos en la ciencia de corrosión, del recubrimiento, de la campana de hueco, de anomalía, de etc. y destacable por medidas. Este algoritmo integra numerosos elementos de datos, a manera solo de un ejemplo, alrededor de dieciséis medidas electroquímicas, químicas, visuales y/o físicas para la infraestructura de la tubería 1402, tales como la tubería 1404, los soportes de la tubería 1428, y/o algo similar. El algoritmo puede determinar la probabilidad relativa de la corrosión o el daño de esa infraestructura de la tubería 1402. Para mejorar continuamente el desempeño del modelo, se puede integrar la información directa o la información usada para inferir condiciones, por ejemplo, los datos de la condición de la examinación directa del interior y/o el exterior de la tubería 1404 pueden ser introducidos en la computadora con observaciones directas. Esto permite al modelo TCAT™ y al equipo de valoración de desempeño mejorar en tiempo real a medida que los datos son recolectados para un proyecto de evaluación específico, o un proyecto de implementación. El modelo TCAT™ y/o la unidad de análisis del riesgo 1604 pueden caracterizar datos del hueco de la campana, datos de anomalía, representación de anomalía, imágenes visuales todas en formas diversas incluyendo características del suelo, factores electroquímicos, interferencias eléctricas, diseño, protección catódica, topografía, obtención de imágenes y similares para la infraestructura de la tubería 1402.

15 La unidad de colección de datos 1602 puede colectar todos los datos incluyendo, pero no limitado a, el aporte por el trabajador de campo 1408 en una o más herramientas de colección de datos 1410 y/o la computadora 1424. La unidad de colección de datos 1602 entonces puede identificar elementos importantes de datos de los datos colectados. La unidad de colección de datos 1602 entonces puede organizar, almacenar, formar categorías, y manipular los datos colectados por las necesidades del proyecto. La unidad de colección de datos 1602 puede fomentar el mantenimiento de los datos históricos con respecto a cualquiera de los datos colectados, los elementos de datos, y/o la infraestructura de la tubería 1402 a medida que los datos son coleccionados.

Los datos colectados pueden además ser clasificados en categorías para determinar los factores externos de la corrosión para cada tubería 1404 y/o de la porción dañada1426a-e de la tubería. Los factores de la corrosión externa pueden incluir, pero no se les puede limitar a, el tamaño de la corrosión en cada porción dañada 1426, la profundidad de la corrosión, las condiciones del suelo, las condiciones atmosféricas, cualesquiera condiciones descritas en este punto, y cosas por el estilo.

La unidad de análisis del riesgo 1604 puede recibir información de la unidad de colección de datos 1602 para determinar el riesgo, o los factores de riesgo, en la infraestructura de la tubería 1402. La unidad de análisis del riesgo puede tener una herramienta para determinar la probabilidad de que la tubería 1404 filtre o se rompa. La unidad de análisis del riesgo 1604 puede determinar la extensión de la corrosión real y la tasa de la corrosión desde la instalación de la tubería 1404. Usando las condiciones observadas y operantes de la tubería, la unidad de análisis del riesgo 1604 puede determinar la probabilidad de una fuga para la tubería 1404.

La unidad de análisis predictivo 1606 puede tomar los datos de la unidad e colección de datos 1602, la unidad de análisis de riesgo 1604 con el fin de predecir la corrosión futura de la tubería 1404. La unidad de análisis predictivo 1606 puede generar un reporte de corrosión que detalla la extensión de la corrosión actual, la probabilidad de un derrame en la actual tubería, la probabilidad y extensión de la futura corrosión y/o daño, y la probabilidad de un filtrado de la tubería en el futuro.

La unidad de mitigación 1608 puede tomar los datos generados por la unidad de análisis predictivo 1606 y puede decidir cuáles porciones de la infraestructura de la tubería 1402 necesitan el trabajo. La unidad de mitigación 1608

puede determinar el tipo y la escala de trabajo para ser realizado en la infraestructura de la tubería 1402. La unidad de mitigación 1608 puede generar un informe de mitigación detallando el lugar exacto y tipo de trabajo que se ha de realizar en la tubería 1404. La unidad de mitigación 1608 puede recomendar cualquier tipo de trabajo adecuado para la infraestructura de la tubería 1402 incluyendo, pero no limitado, el pintando, la solicitud de una capa de protección, la instalación de una manga sobre alguna porción dañada 1426, el reemplazo de una porción de la tubería 1404, cualquier combinación entre ellos, y similares.

La unidad de implementación 1610 puede generar un plan de implementación. El plan de implementación puede decidir cuándo debe ser realizado el trabajo en la infraestructura de la tubería 1402 y la extensión del trabajo a ser realizado. Por ejemplo, si se determina que hay una probabilidad de una fuga a punto de suceder 1404, el plan de implementación puede promulgar un plan para atender esa porción de la infraestructura de la tubería 1402 fija inmediatamente. Adicionalmente, la unidad de implementación 1610 puede determinar una cronología para el mantenimiento y trabajo futuro de la infraestructura de la tubería 1402 a base del plan de mitigación.

Todas las funciones de la unidad de infraestructura de la tubería 1416 y/o la unidad de infraestructura 116 pueden ser realizadas en tiempo real mientras el trabajador de campo introduce en la computadora los datos colectados en la unidad de infraestructura de la tubería 1416 y/o la unidad de infraestructura 116.

Las Figuras 17A-17H representan un ejemplo de un informe usado en conjunción con el sistema de análisis de la tubería 1400 según una realización.

La unidad de infraestructura 116 y/o la unidad de infraestructura de la tubería 1416 puede tomar la forma de una realización enteramente de hardware, realización enteramente de software (incluyendo el firmware, el software 20 residente, el microcódigo, etc.) o una realización que combina aspectos de software y hardware. Las realizaciones pueden plasmarse en un programa de computadora materializado en cualquier medio teniendo el código utilizable de programa de computadora reivindicado en el medio. Las realizaciones pueden ser provistas como un producto de programa de computadora, o software, que puede incluir un medio legible por máquina habiendo almacenado sobre ese asunto instrucciones, los cuales pueden usarse para programar un sistema de cómputo (u otro dispositivo electrónico (s)) para realizar un proceso. Un medio legible por máquina incluye cualquier mecanismo para almacenar o transmitir información en una forma (como, el software, solicitud de procesamiento) legible por una máquina (como una computadora). El medio legible por máquina puede incluir, pero no se limita a, el medio del almacenamiento magnético (p. e., el disquete flexible); medio del almacenamiento óptico (p. e., el CD-ROM); medio óptico-magnético de almacenamiento; memoria de sólo lectura (El ROM); Memoria de acceso aleatorio (RAM); memoria programable 30 borrable (p. e., EPROM y EEPROM); memoria flash; u otros tipos de medio adecuado para almacenar instrucciones electrónicas. Las realizaciones pueden además estar materializadas en una forma eléctrica, óptica, acústica u otra de señal propagada (p. e., Ondas portadoras, señales infrarrojas, señales digitales, etc.), o alámbrico, inalámbrico, u otro medio de comunicaciones. Adicionalmente, debería ser apreciado que las realizaciones pueden plasmarse en cálculos a la mano, y/o comparaciones del operador. Con este fin, los trabajadores, el operador y/o el ingeniero (s) puede recibir, puede manipular, puede catalogar y puede almacenar los datos del sistema 100/1400 para realizar tareas representadas en la unidad de la infraestructura 116 y/o la unidad de la infraestructura de la tubería 1416.

Mientras que las realizaciones están descritas con referencia a labores e implementaciones diversas, se tendrá por entendido que estas realizaciones son ilustrativas y que el alcance de la materia inventiva no está limitado a ellas. Muchas variaciones, modificaciones, adiciones y mejoras son posibles. Por ejemplo, las técnicas usadas en este

documento pueden ser aplicadas a cualquier estimación usada para las estructuras, puentes, refinerías, edificios industriales, y cosas por el estilo.

Las expresiones plurales pueden ser provistas para componentes, operaciones o estructuras descritas en este documento como una expresión singular. Las estructuras y las funciones presentadas como componentes separados en las configuraciones de los ejemplos pueden ser implementados como componentes o estructuras combinadas. De modo semejante, las estructuras y funciones presentadas como componentes combinados pueden ser implementadas como componentes separados. Estas y otras variaciones, modificaciones, suplementos, y mejoras pueden caer dentro del alcance de la materia de la invención.

REIVINDICACIONES

1. Un sistema de análisis de conducciones (1400) que comprende:

una infraestructura remota de tuberías (1402) que comprende:

una tubería corrosible (1404) configurada para transportar fluidos;

una pluralidad de herramientas de recogida de datos (1410) configurada para recoger datos de la infraestructura remota de tuberías, siendo las herramientas de recogida de datos que están comprendidas en el sistema de análisis una cámara, un dispositivo GPS, un dispositivo de vigilancia, un dispositivo de análisis del suelo, un dispositivo para medir la potencial electroquímico de una estructura, una herramienta para medir la corrosión del metal, un dispositivo para la medición de la profundidad de un pozo, un dispositivo de medición de recubrimientos, una herramienta de medición de la oxidación-reducción del suelo, una herramienta de medición de la resistividad del suelo, un cáliper, un dispositivo de medición del pH del agua, y medios para transducir una inspección visual; estando el sistema de análisis configurado para recoger datos de un examen no destructivo de un componente de la infraestructura;

una unidad de infraestructura de tuberías (1416) configurada para recibir datos de las herramientas de recogida de datos y los resultados del examen no destructivo;

donde la unidad de infraestructura de tuberías comprende:

una unidad de colección de datos (1602) configurada para recibir datos relativos a la infraestructura remota de tuberías de las herramientas de recogida de datos y los resultados del examen no destructivo;

una unidad de análisis de riesgo configurada para evaluar una condición de corrosión de la tubería corrosible basada en los datos recibidos;

una unidad de análisis predictivo que responde a la unidad de colección de datos y a la unidad de análisis de riesgo configurada para generar un informe de la corrosión que detalla la corrosión actual, la probabilidad de una fuga en la tubería actual, y la probabilidad de la corrosión futura;

una unidad de mitigación configurada para determinar el tipo de trabajo de mitigación que se ha de llevar a cabo en la tubería corrosible; y

una unidad de implementación (1610) configurada para evaluar el riesgo relativo de la infraestructura remota de tuberías y crear un plan de implementación para la reparación de la infraestructura remota de tuberías.

- Sistema de análisis de conducciones, según la reivindicación 1, que comprende además al menos un dispositivo de entrada de datos (1412) configurado para recoger os datos de las herramientas de recogida de datos.
- 3. Sistema de análisis de conducciones, según la reivindicación 1, donde la pluralidad de herramientas de recogida de datos (1410) comprende adicionalmente una galga de inspección de tuberías.
- Sistema de análisis de conducciones, según la reivindicación 1, donde la pluralidad de herramientas de recogida de datos (1410) comprende adicionalmente un escáner, una herramienta acústica, un monitor de presión, y un flujómetro.

18

5

10

15

20

25

30

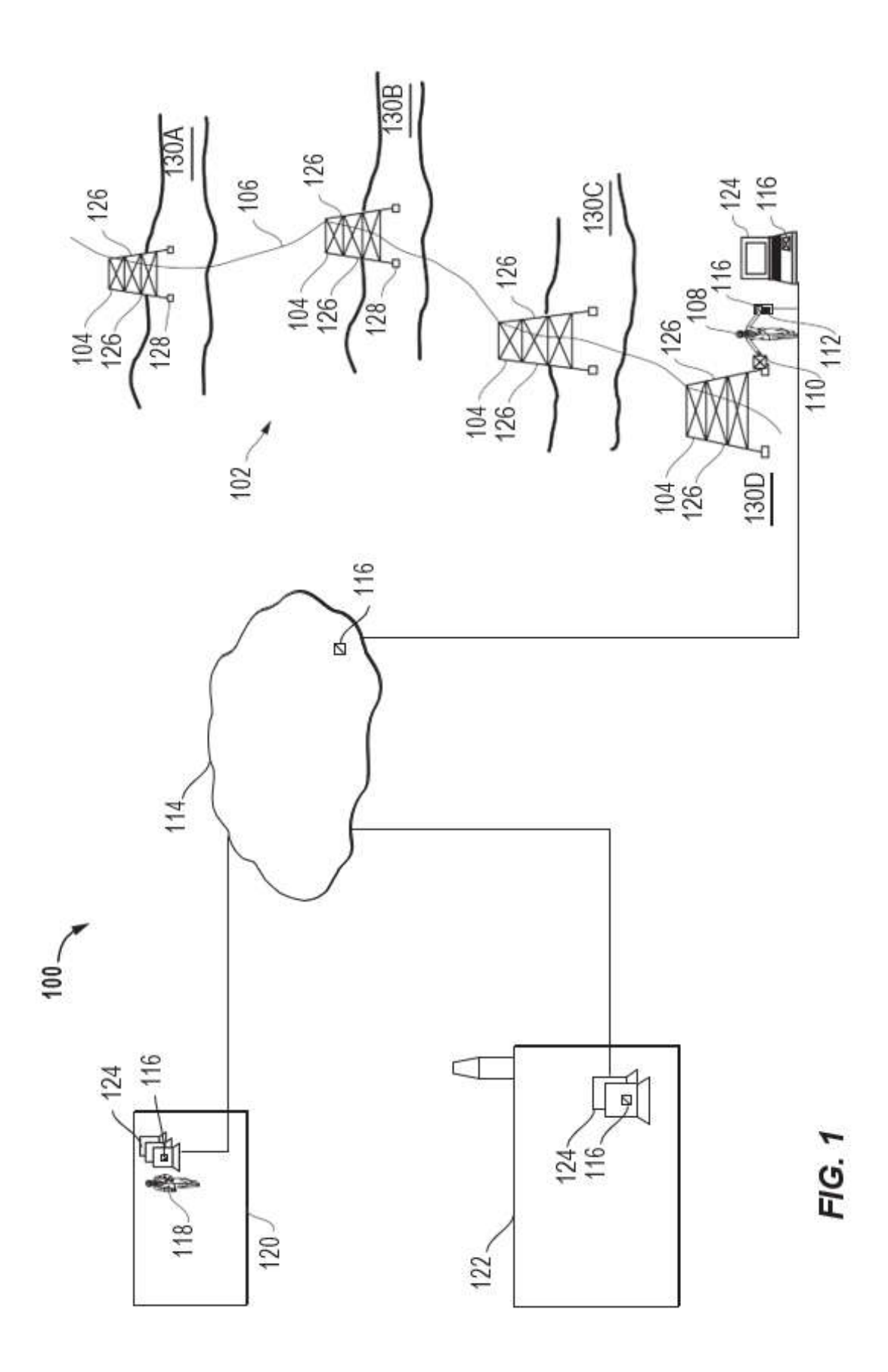
35

40

- 5. Sistema de análisis de conducciones, según la reivindicación 1, donde la pluralidad de herramientas de recogida de datos (1410) comprende adicionalmente una herramienta seleccionada del grupo de herramientas que consiste en una herramienta acústica, un monitor de presión y un flujómetro.
- 6. Un método de reparación de infraestructuras, que utiliza el sistema de análisis de conducciones de cualquiera de las reivindicaciones 1 a 5, comprendiendo dicho método el paso de ejecutar el plan de implementación para la reparación de la infraestructura remota de tuberías.
- 10 7. Un método de reparación de infraestructuras, según la reivindicación 6, que comprende el paso adicional de almacenar electrónicamente todos los datos recibidos y recolectados de la infraestructura remota de tuberías para acceder a y manipular los datos recibidos en un tiempo futuro.

5

Un método de reparación de infraestructuras, según la reivindicación 6, que comprende el paso adicional
 de introducir los datos recibidos asociados con la infraestructura remota de tuberías en un ordenador situado en la infraestructura remota de tuberías.



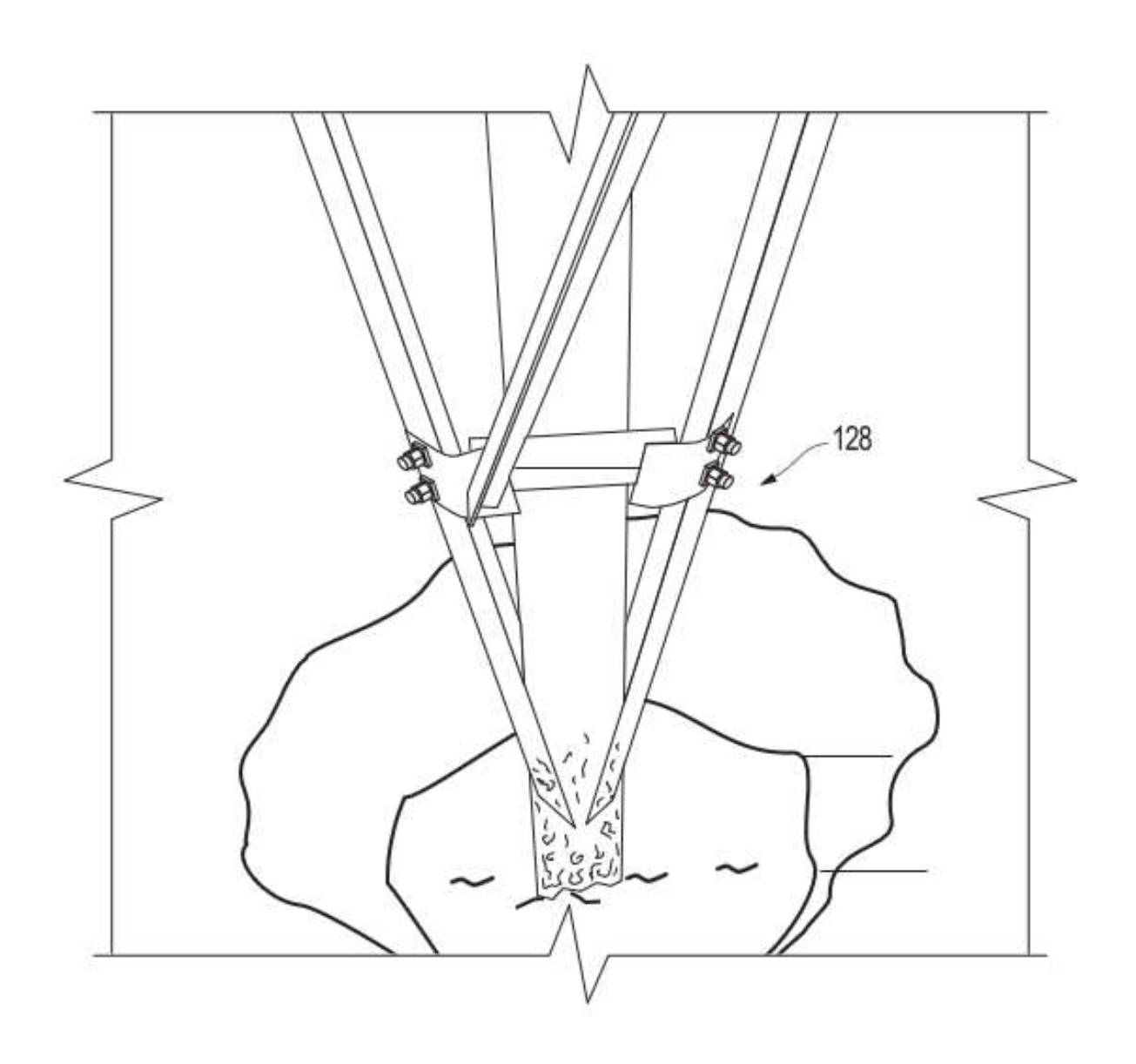


FIG. 2A

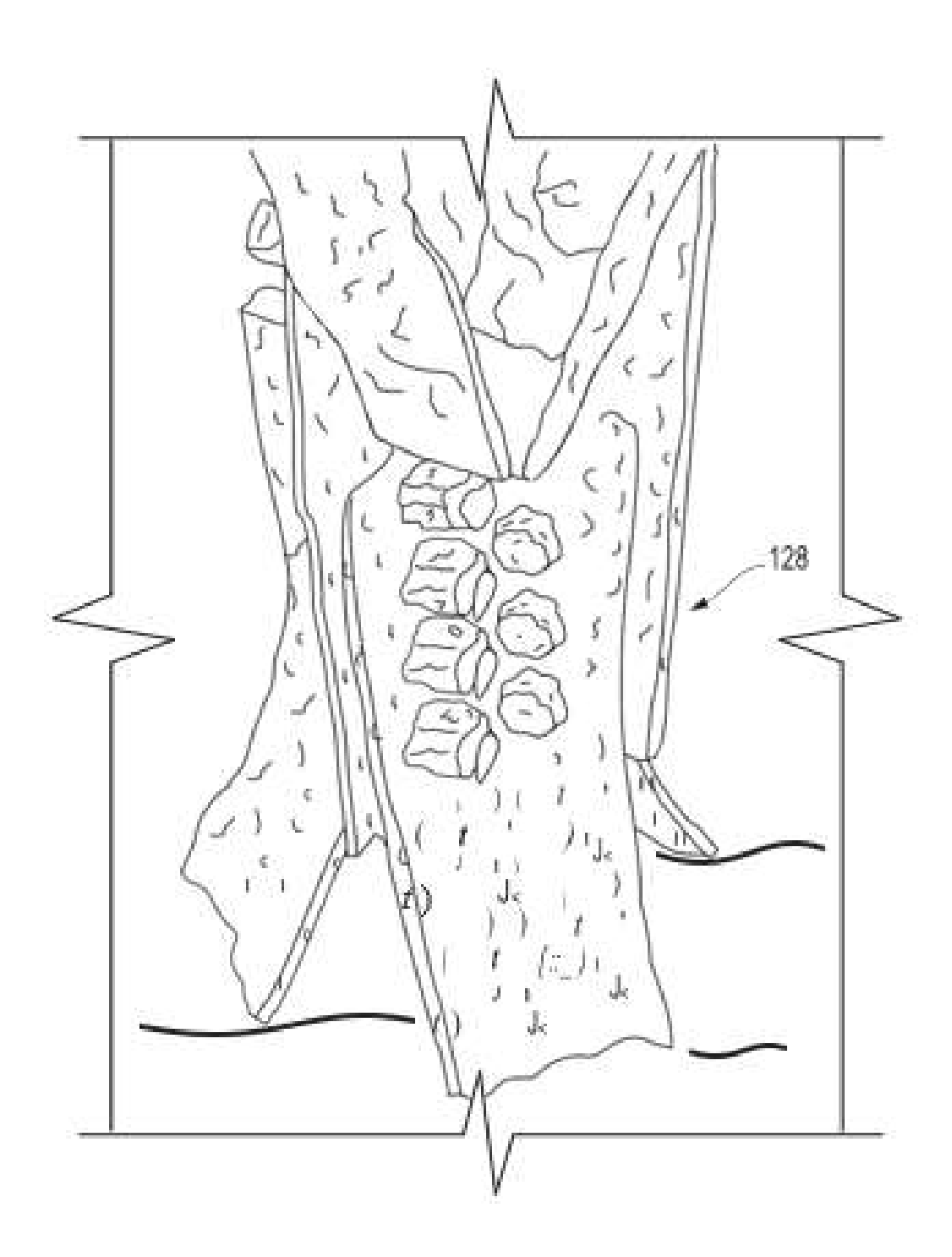


FIG. 2B

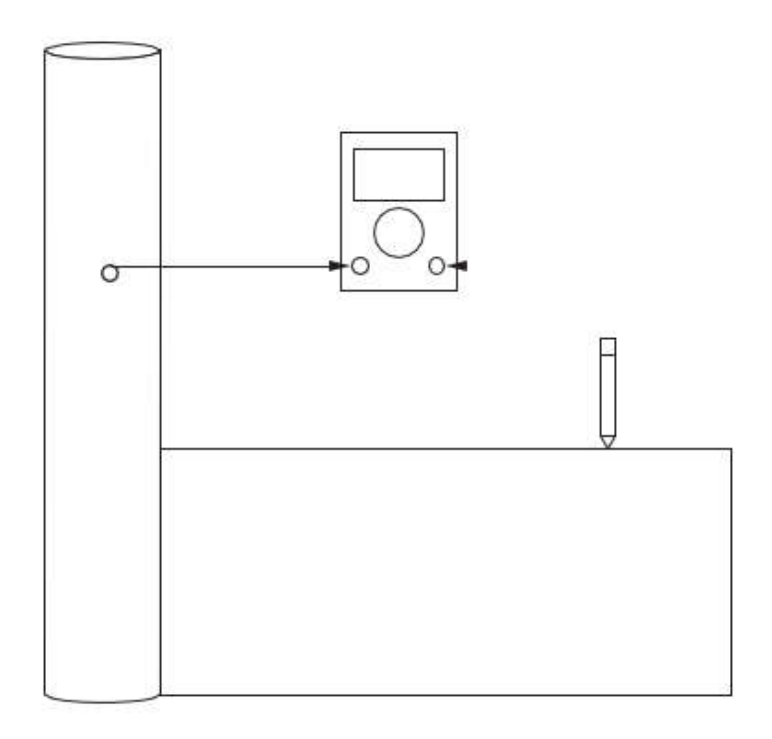


FIG. 3A

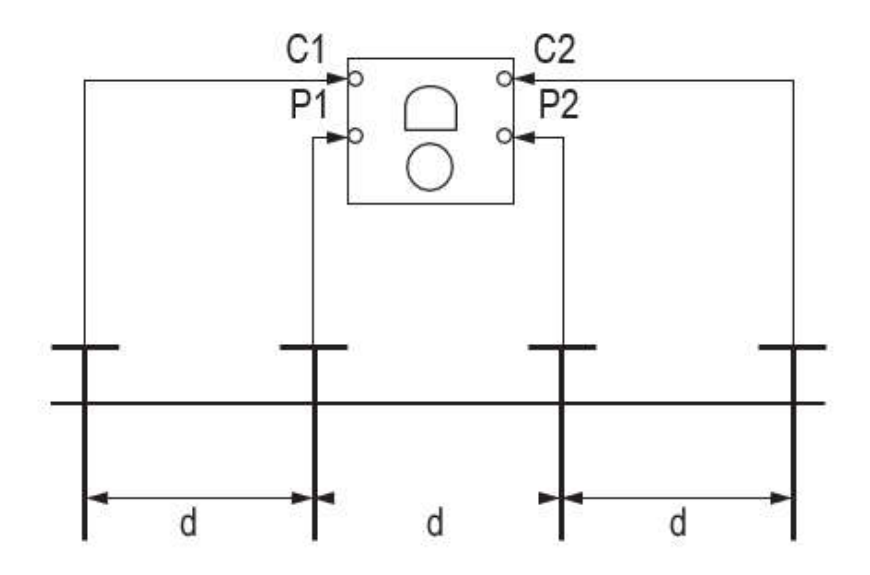
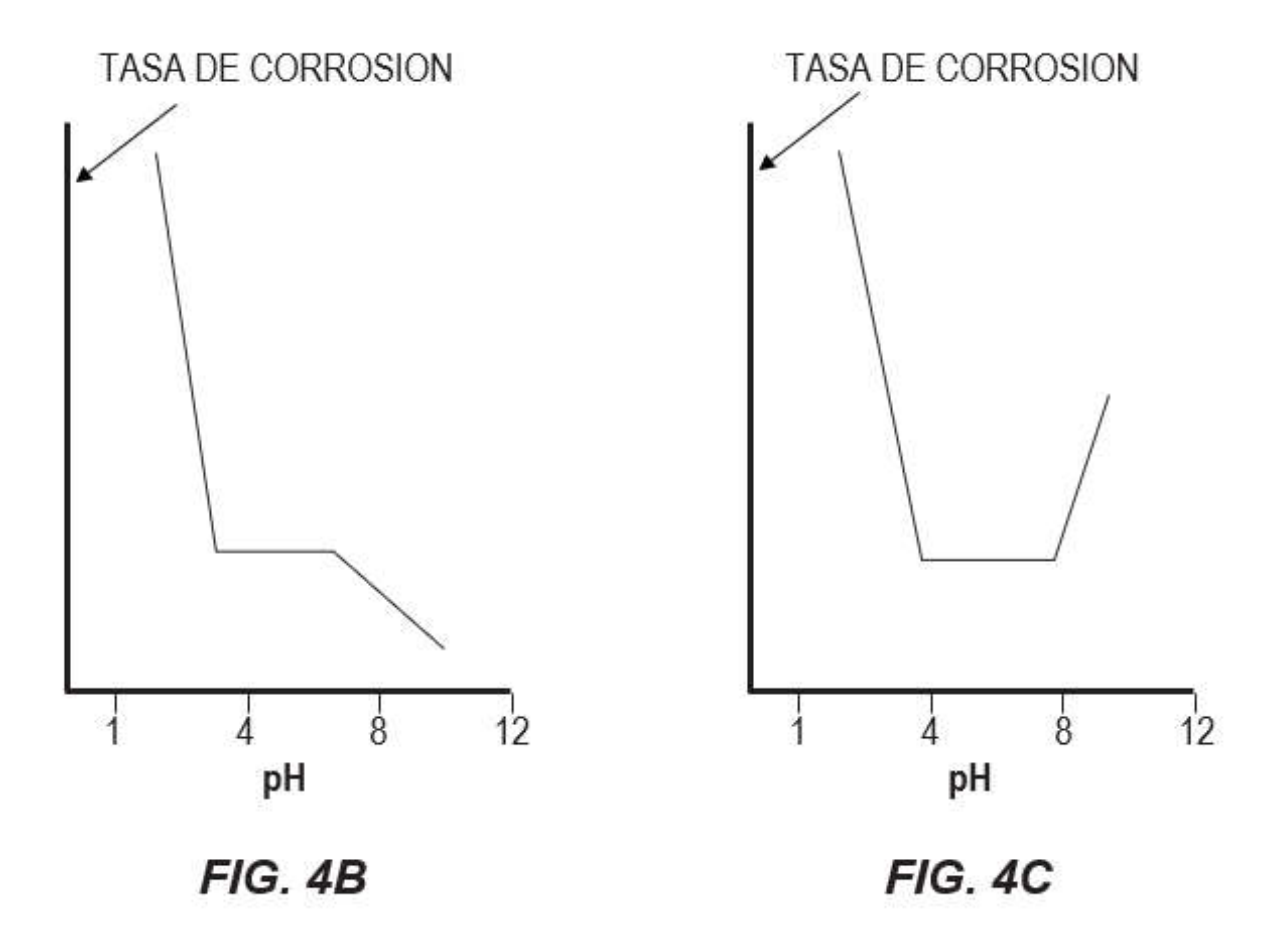


FIG. 3B

Clasificación	Resistividad (Ω-cm)		
Extremamente corroído	< 500		
Muy Corroído	500 a 1 000		
Corroído	1 000 a 10 000		
Medianamente Corroído	10 000 a 20 000		
Corrosión progresiva lenta	> 20 000		

FIG. 4A



Graduación de la Clasificación	Grado de Corrosión	Descripción Visual				
6	6. Extremadamente severa se espera una pérdida de metal del 50% al 100%	,				
5	Severa se espera una pérdida de metal del 40% al 70%	Óxido hasta 1,3 cm (½") de grosor con daños severos reportados.				
4	Moderada a severa se espera una pérdida de metal del 30% al 50%	Reporte de perdida de metal de hasta un 50%				
3	Moderada se espera una pérdida de metal del 10% al 40%	Hasta 9,5 mm (3/8") de óxido reportados				
2	Menor Moderada se espera una pérdida de metal menor a 10%	Corrosión general y picaduras de menos de 0,254 cm (10 milésimas)				
1	Sin corrosión a corrosión menor	Cobertura de zinc aún intacta y en algunos sitios de menor grado				

FIG. 4D

Elemento de datos	Propósito	Realizado en cada pata	Unidades de medida	Criterio
Coordenadas de GPS	Para registrar la posición global de cada torre, identificar las potenciales tendencias en la degradación vs la posición geográfica	No	Grado, minutos, segundos	Sub- métrico
Potencial de la Torre de corriente alterna al suelo	Para identificar algún peligro de choque	Si	Voltios	< 15
Potencial de la Torre de corriente continua al suelo	Para proveer una indicación cualitativa del grado de pérdida de la cubierta galvanizada en la estructura enterrada	Si	Voltios	< -0.8
Medición de la Tasa de Corrosión LPR	Para determinar la tasa de corrosión relativa del suelo	No	0,001 " / año	Ninguna
Patrón de corrosión visual	Para describir el patrón y extensión de la corrosión sobre el emparrillado	Si	Texto	Ninguna
Longitud de la Perdida de la Sección	La Longitud de la corrosión observada	Si	Pulgadas	Ninguna
Profundidad Máxima del Foso (hueco)	Medir la profundidad de la corrosión localizada	Si	0.001 pulgadas	Ver Figura 4A
pH de la Celda de Antimonio	Medir la acidez del suelo para ayudar determinar la propensidad durante la corrosión	Si	Sin unidad	
Potencial rédox	Medir el potencial de óxido-reducción del suelo que puede ser un indicador de la corrosión microbiológica	No	mV	Moderado < 150 Severo < 0
Espesor de 12" del recubrimiento arriba del suelo	Medir el metal cubierto con cinc que ha sido expuesto a las condiciones atmosféricas por cerca de 40 años	Si	0.001 pulgadas	Ninguna
Espesor de 12" del recubrimiento debajo del suelo	Medir el metal remanente cubierto con cinc permaneciendo después de 40 años de exposición al suelo	Si	0.001 pulgadas	Ninguna
Resistividad del Suelo	Medir la resistividad del suelo a profundidades de 1', 2' y 3' del suelo	No	Ω-cm	Ver Figura 4D
Tipo de Suelo	Registrar el tipo de suelo. Tipos diferentes de suelo tienen inherentemente diferente propensidad para causar corrosión	Si	Texto	Ninguna
Topografía	Registrar el tipo de suelo en el que la torre está. La topografía puede influenciar el drenaje y el nivel del agua freática	No	Texto	Ninguna
Vegetación	El tipo y nivel de la vegetación puede ser un indicador de la humedad del suelo total y el nivel de cationes y aniones del suelo.	No	Texto	Ninguna
Fotografía	Registrar la apariencia visual de cada pata, la apariencia del suelo y el tipo de vegetación.	Si	Ninguna	Ninguna
Comentarios	Registrar las observaciones visuales del grado de uretano y de la degradación del revestimiento de cinc, así como también de la cantidad de exfoliación del metal	Si	Ninguna	Ninguna

Fig. 5

600

:a			36.4	17	Patas de	Torres o	le Transmisió	n de Alta	lension	i)		
Circuito: ACDM-2				Fecha:	11/9/2010			Fluio de corriente				
D de la Torre 176			- 8	Торо:	Ver coment	arios		Г	A A	B		
Tipo:					Lector:	BAL/CII			1.0	1	101	
Compar	npañia			00	Clima Hůmedo ~ 29°C (85° F), Soleado					N+		
Cables	comprob	ados de	seguri	idad	√ Si	Suelo:	Suelo: Suelo Arenoso					
			√ Si	# Image	n ID de la Tom	ID de la Torre:				101		
Fluke o	omproba	do de se	egurida	ď	✓ Si # Imagen Digital o		n Digital de Tor	gital de Torre Total				
	# Image n Digital	Localiz / Profun		Poten cial de Corrie nte Altern a (VAC)	A STANLES FOUND IN A	pH de Celda di Amonio		Tasa Corrosi ón LPR	Redox	Cubierta de 30cm (12") de cinc arriba	Cubierta de 30cm (12") de cinc abajo	Pérdida de metal
Pata A	_	Gra	obe	0	-0.495	5	0.24	2.56	397.6	215	N/A, para mucha la escala de corrosión a medir	Ver detalles Adicionale s debajo
	-	23cm		0.70	-0.504	4.5	- 2554					
	- 8	46cm		1	-0.519	4.5	7					
8			noto		-0.535	N/A						
Pata		Gra		0	-0.500	5	0.24	3.17	384.4	298	N/A, para mucha la escala de corrosión a medir	Ver detalles Adicionale s debajo
В		23cm 46cm		05303	-0.507 -0.586	4.5 4.5						
Pata	- 6	Gra	Grado 0 -0.482 5 0.15	3.39	369.9	1.99	N/A, para	Ver				
C		23cm 46cm	1 (9")		-0.422 -0.422	4.5		5.55	300.0		mucha la escala de corrosión a medir	detalles Adicionale s debajo
Pata	9	Grado		0	-0.446	5	0.69	3.62	398.9	204	N/A, para	Ver
D		23cm 46cm			-0.429 -0.439	4.5					mucha la escala de corrosión a medir	detalles Adicionale s debajo
Resisti	ividad de	1 3	0 cm	61cm	2 91 cr	n C	omentarios:	Ties	vestis ien	linándoso	2	de alle el
suelo	0 18		1 pie)	pies)	(3 pis					clinándose en dirección de ~45 a re sitúa a un lado de una colina de		
Resist	encia	533	2.7	1.8	2000000	1		0.00				
Multipl	icador	- 33	100	100	3 3	00				m (500 pies) de alto, plantas ~ 9º le alto, Área Rural, bien drenada		
ID de I	a Muestr	ra del Si	uelo							alvanizado	and any sale	- wine tweeter
A				176 Par				100000				
В				176 Pat				500				
C		-		176 Pa				100				
D				176 Par								
	s Adicion	nales – l	Pérdida	del met	tal							
Pata A			conversion in a	are entre (UU) (A)	0.03							
Pata B			8									
Pata C												

Fig. 6



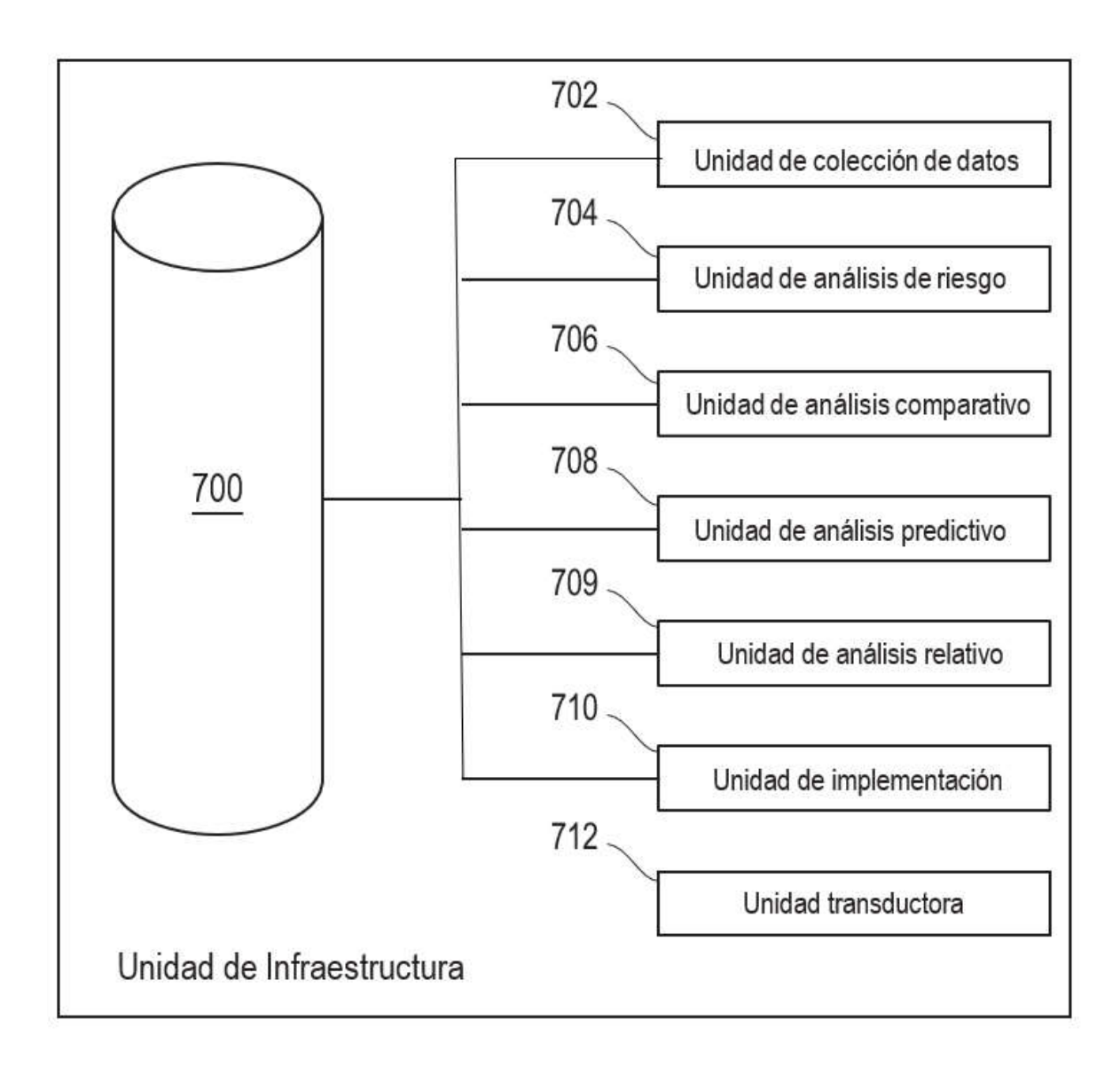


Fig. 7

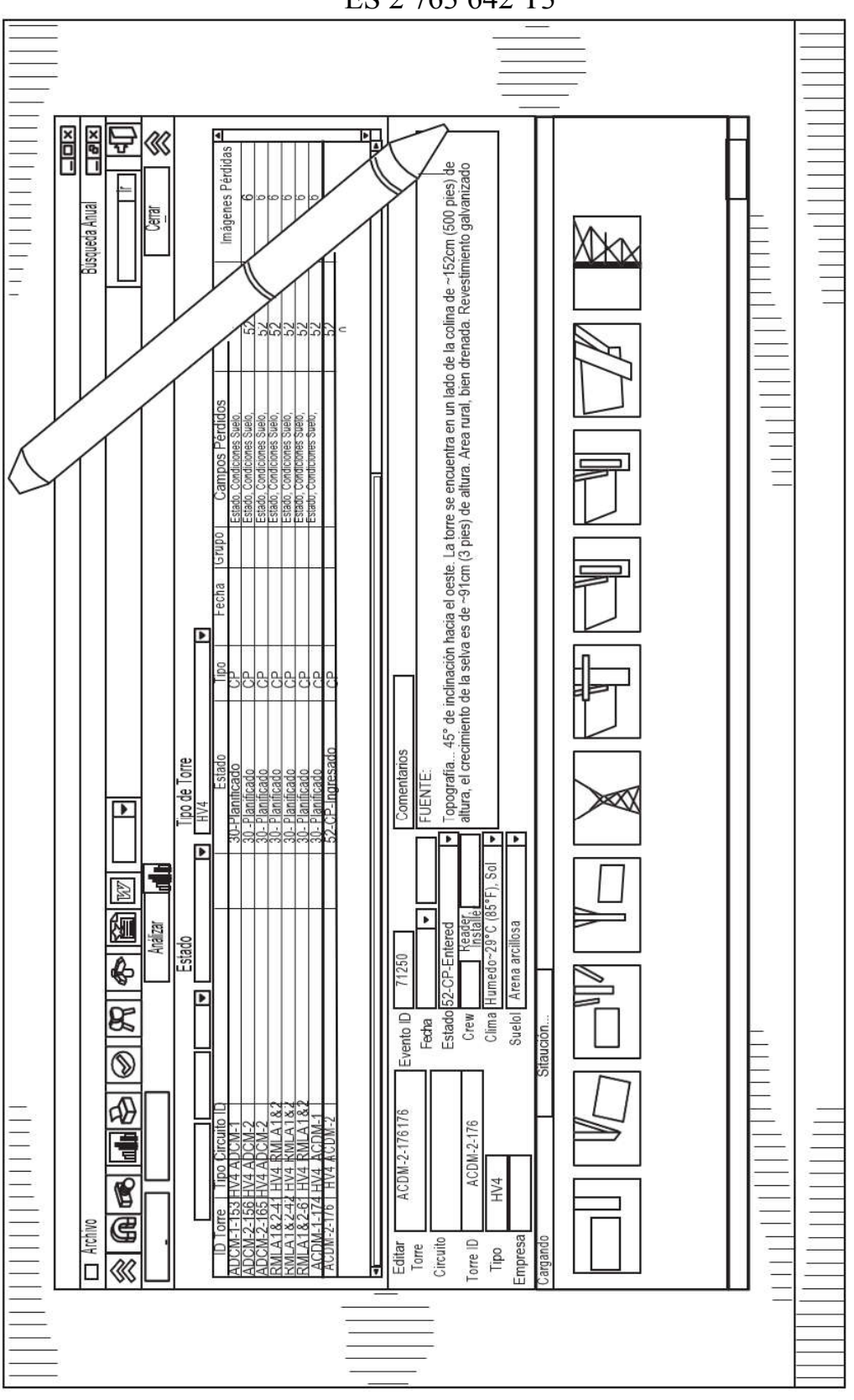


Fig. 8A



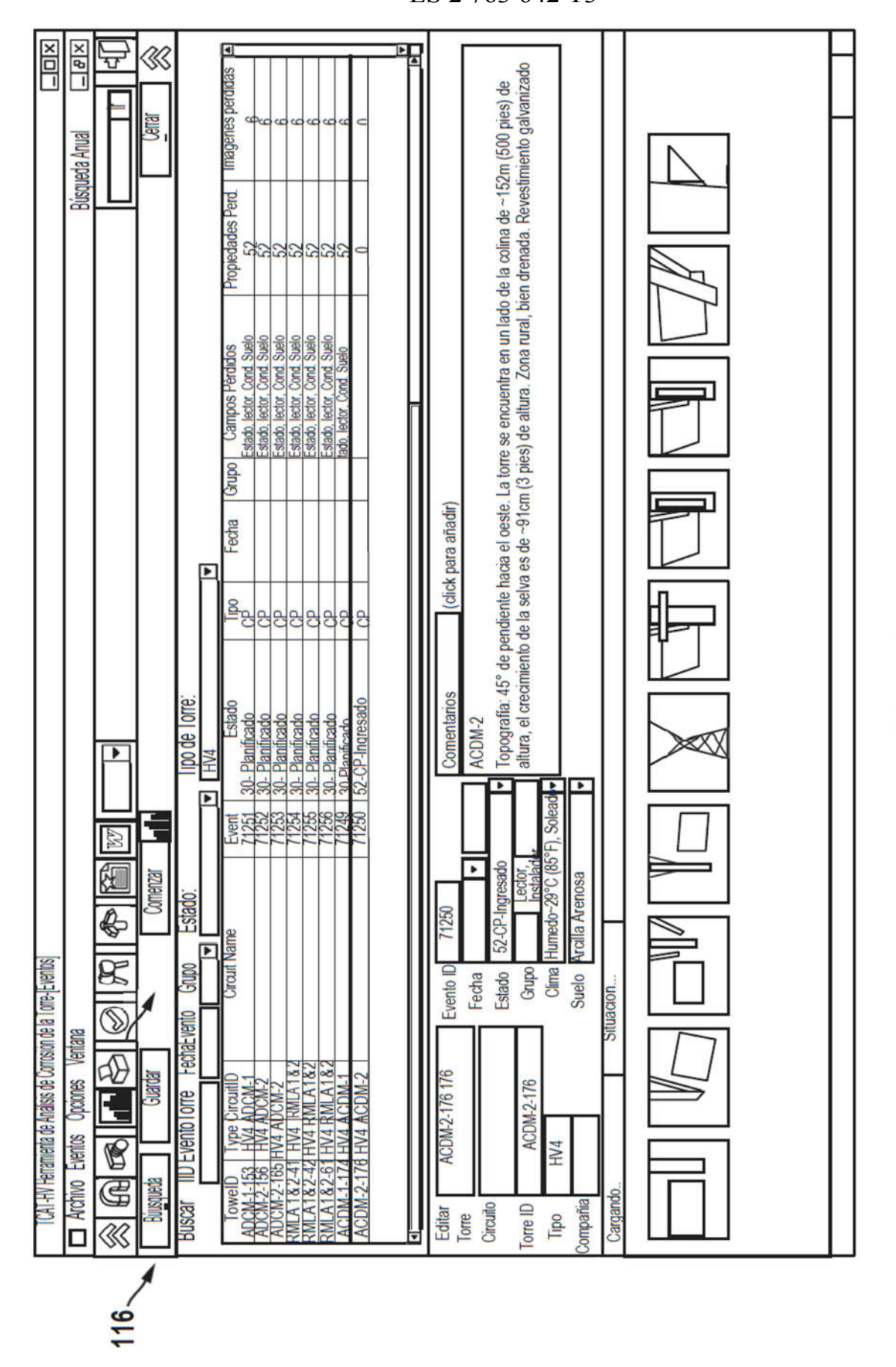


Fig. 8B

Clasificación de la Degradación	Rango de la Puntuación de Riesgo Total	Grado de Corrosión	Descripción Visual
6	> 1200	Extremadamente severo supone 50% a 90% de pérdida de pared	Cantidad extrema de la escala mayor que 1,3cm (½") de grosor con nódulos reportados y otras indicaciones de degradación severa
5	1150 a 1259	Severo supone 30% a 70% de pérdida de pared	Escalado al grosor de 1.3cm (½") con picaduras reportadas
4	1000 a 1175	Moderado a severo supone 30 a 50% de pérdida de metal	Hasta el 50% de pérdida de metal reportada
3	900 a 1050	Moderada supone la corrosión de 10% a 40%	Hasta 9,5mm (3/8") de escala reportada
2	780 a 900	Menor corrosión hasta 10% de pérdida de pared	Corrosión general y picadura menor de 0.254mm (10 mils)
1	< 780	Ninguna corrosión para menor corrosión	Cubierta de cinc aún intacta en algunos lugares debajo del grado

Fig. 9

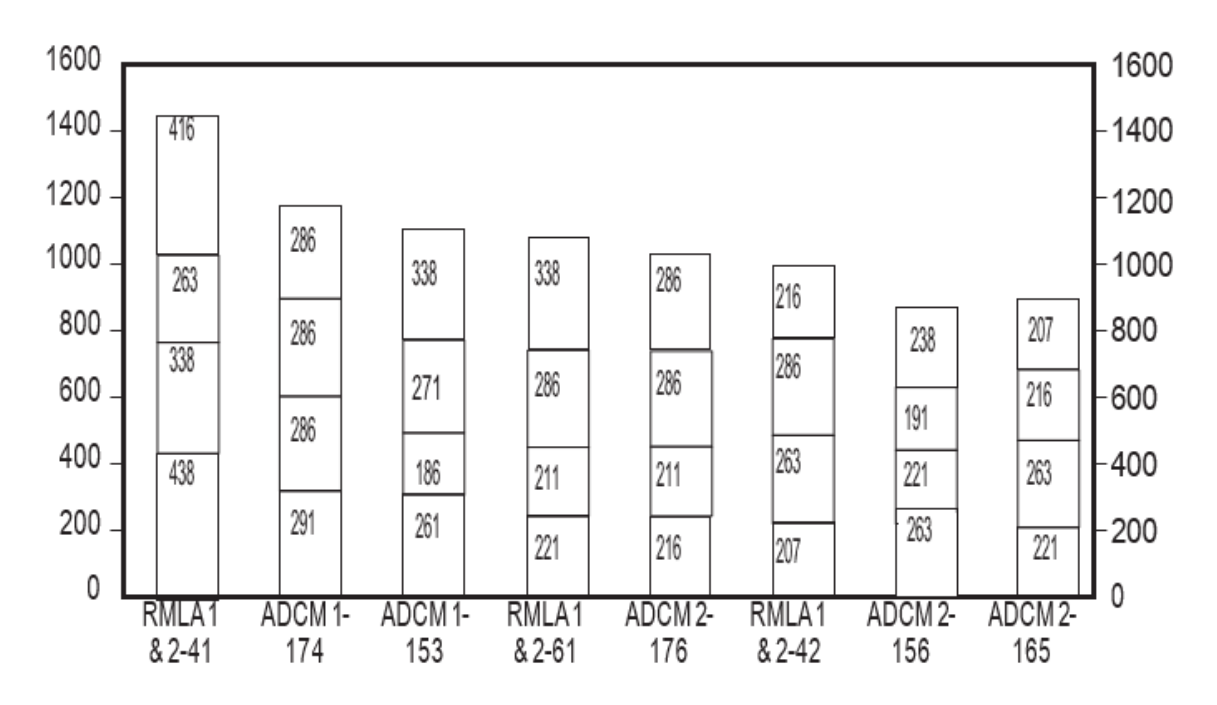
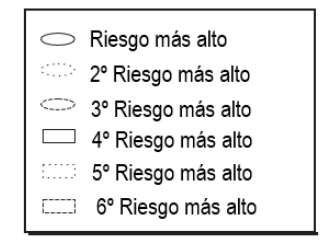


Fig. 10A



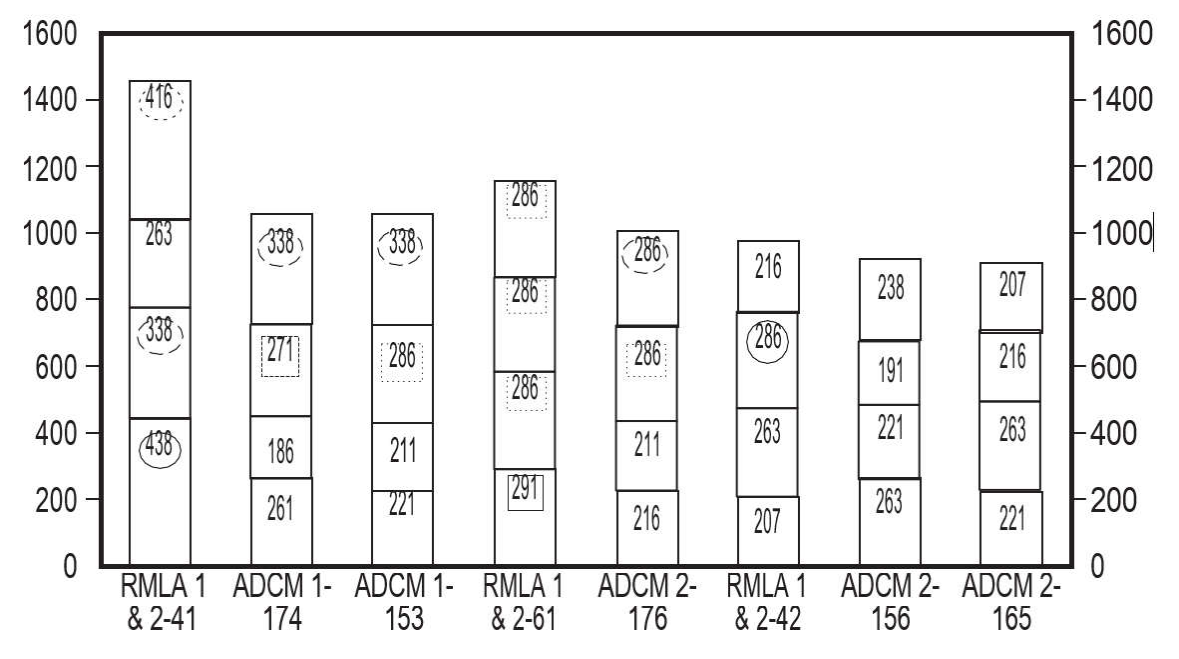


Fig. 10B

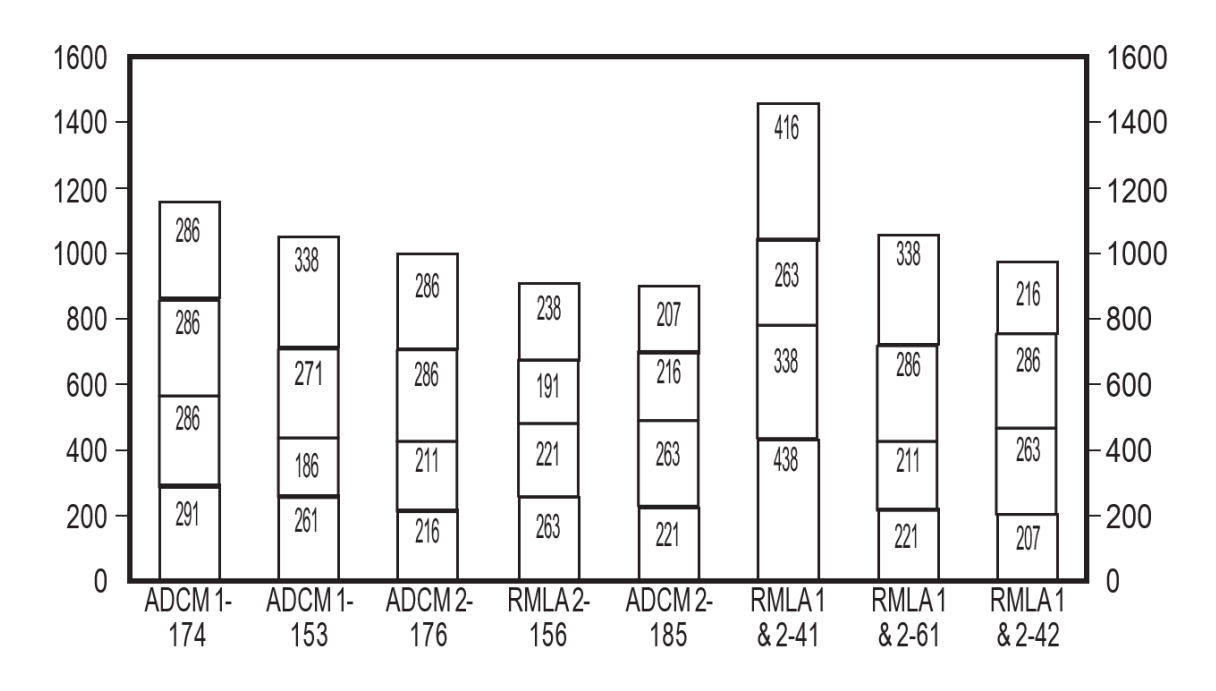
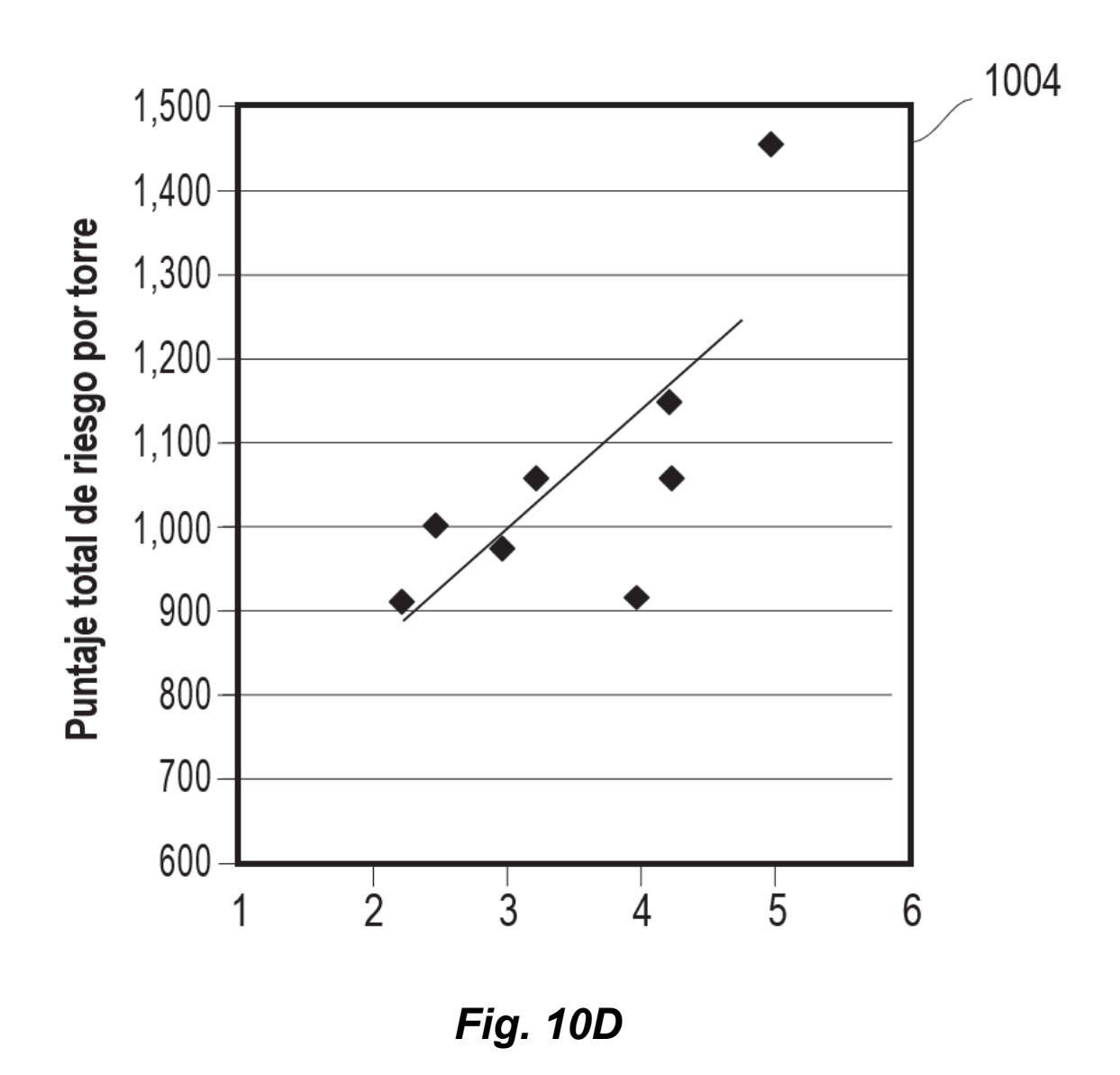


Fig. 10C

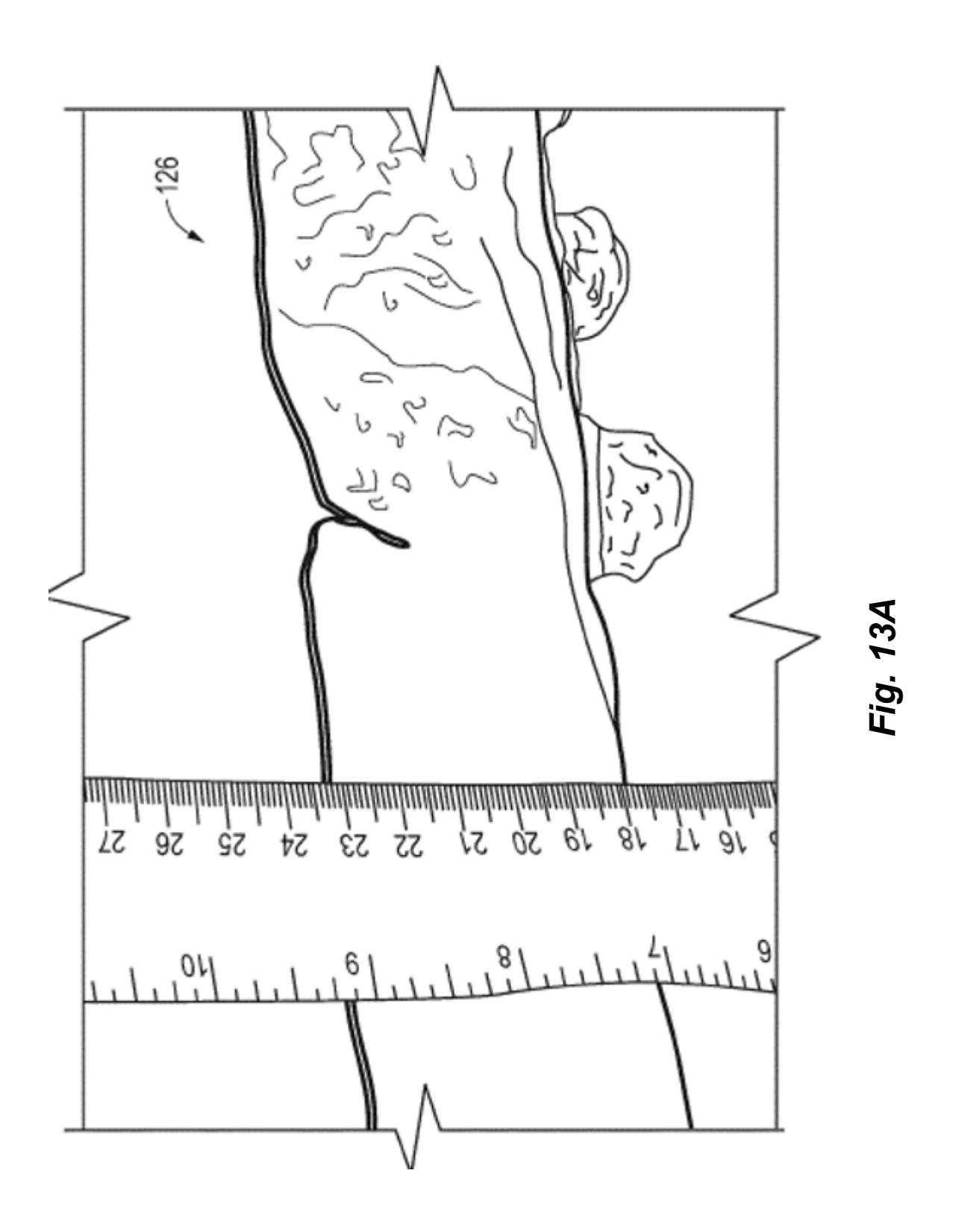


	Po	r torre		Por P	oata o		
Circuito	Prom	Ind. Tot.	Pata	Indice	Clasif.	Figura #	Comentarios
	.Grad	Riesgo	1 414	Riesgo	grado	_	
			А	221	1	3.1	Sin corrosión apreciable
ADCM-2-165	2.3	907	В	263	2		
			С	216	3		
			D	207	3		
			A	216	2		
ADCM-2-176	2.5	999	В	211	2	2.0	0 :1 :/
			С	286	2	3.2	Oxidación menor en superficie
			D	286	4	3.3	Hasta 50% de pérdidas de metal en algunas secciones transversales
			А	207	3		
RMLA-1 & 2-42	3.0	972	В	263	3		
			С	286	3		
			D	216	3		
			А	221	3		
RMLA1&2-61	3.3	1056	В	211	4	3.4	Ataque severo localizado en la interfaz suelo/aire
			С	286	3		
			D	338	3		
			Α	263	2		
ADCM-2-156	4.0	913	В	221	6	3.5	Hasta 100% de pérdida de metal con ruptura de unión en el cruce
			С	191	4		
			D	238	4		
			Α	261	4		
ADCM-1-153	4.3	1056	В	186	5	3.6	
			С	271	4		
			D	338	4	3.7	
			А	291	4	3.8	Hasta 50% de pérdidas de metal en algunas secciones transversales
ADCM-1-174	4.3	1149	В	286	6	3.9	100% de perdidas de metal en algunas secciones transversales
			С	286	5	3.10	Más de 50% de perdidas de metal en algunas secciones transversales
			D	286	2	3.11	
			Α	438	5		
RMLA1&2-41	5.0	1455	В	338	5		
	0.0		С	263	5	3.12	1.3cm (1/2")espesor corrosión
			D	416	5		

Fig. 11

Circuito	Por torre	Clasific			
Officulto	Prom. Grad.	2013	2015	2023	
ADCM-2-165	2.3	2.62	2.86	3.47	
ADCM-2-176	2.5	3.01	3.35	4.20	
RMLA 1 & 2-42	3.0	3.45	3.75	4.51	
RMLA 1 & 2-61	3.3	3.59	3.82	4.39	
ADCM-2-156	4.0	4.68	5.13	6.26	_1200
ADCM-1-153	4.3	4.71	5.01	5.78	
ADCM-1-174	4.3	5.01	5.51	6.78	
RMLA 1 & 2-41	5.0	5.74	6.23	7.46	

Fig. 12



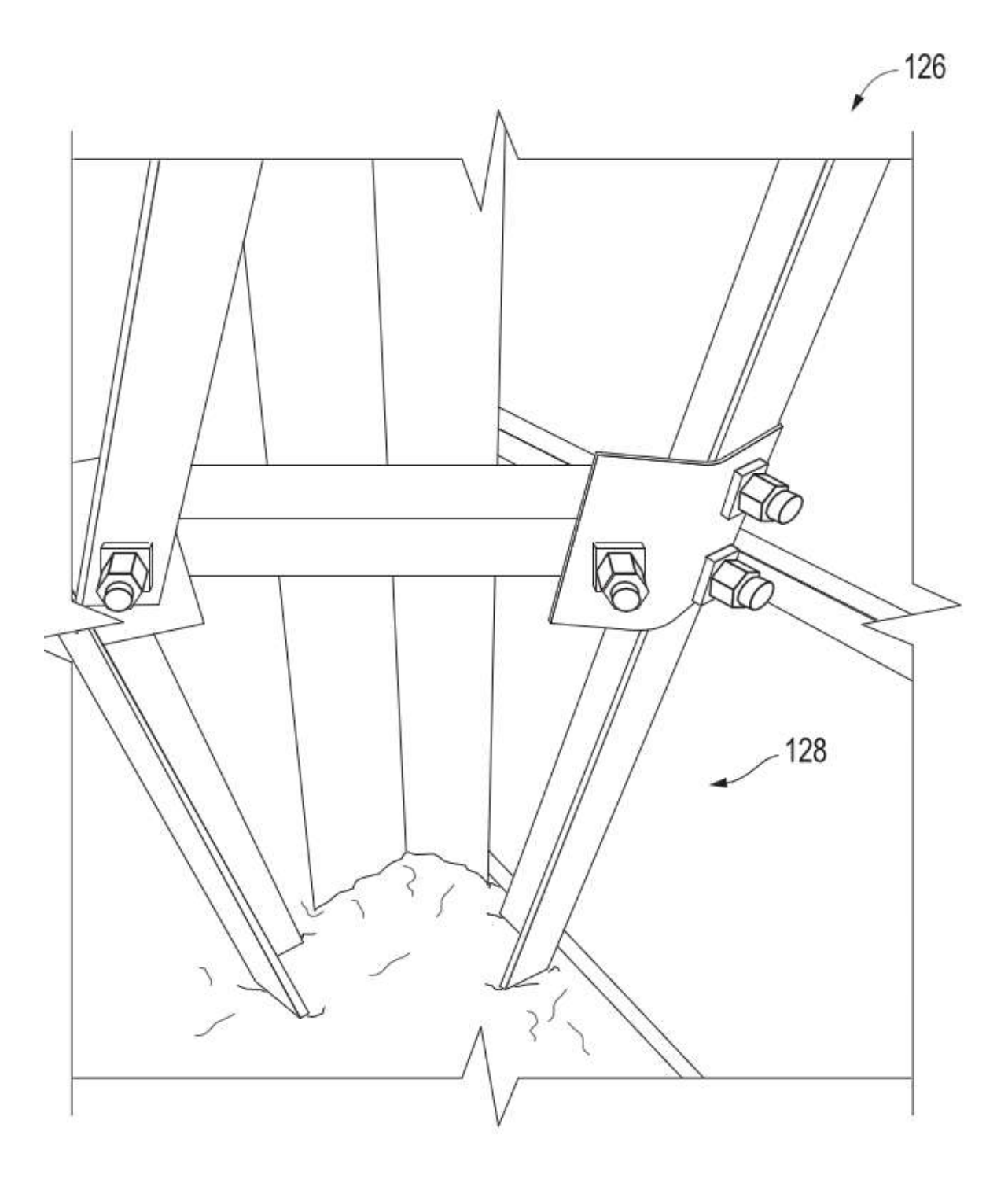


Fig. 13B

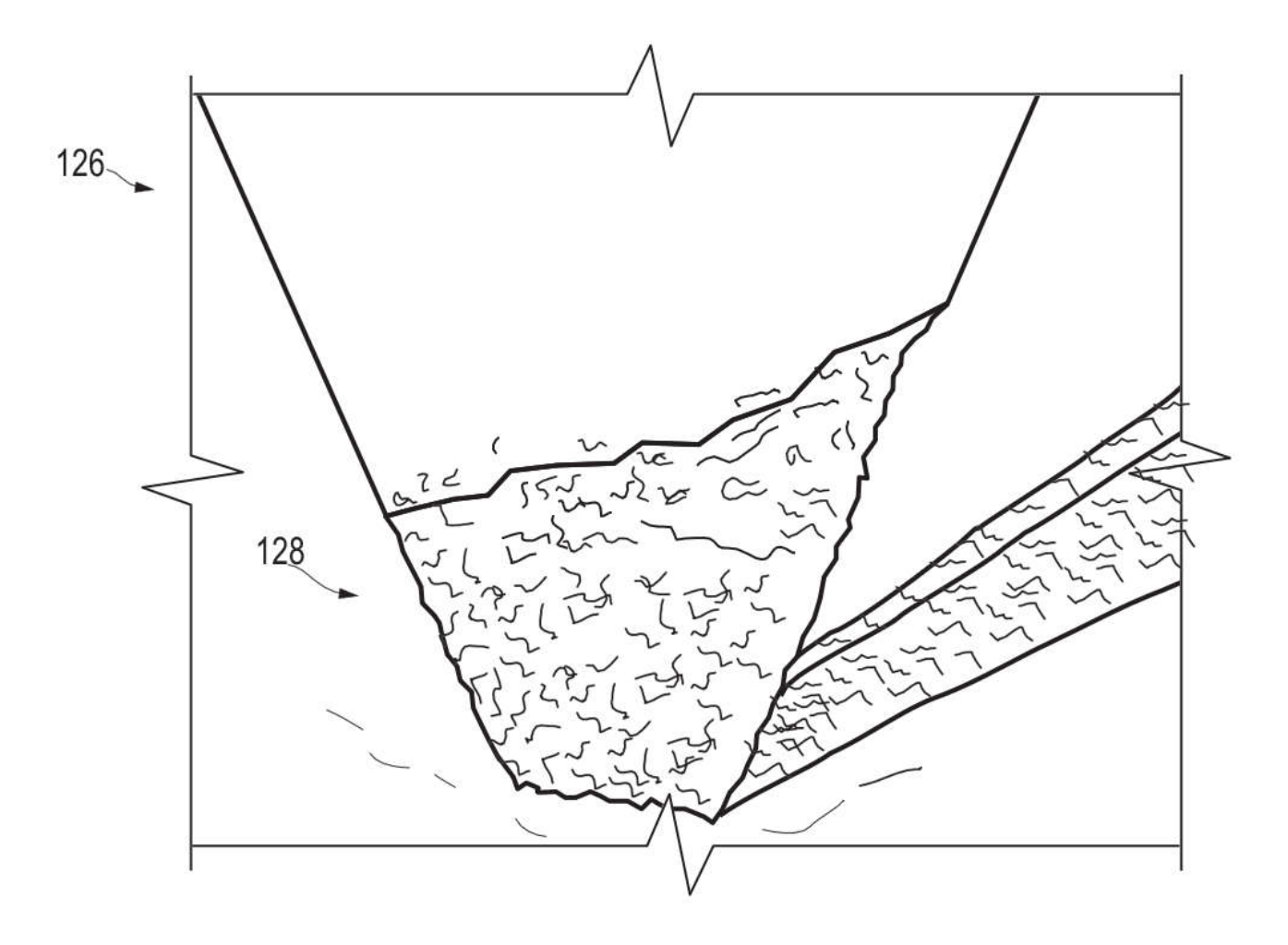


Fig. 13C

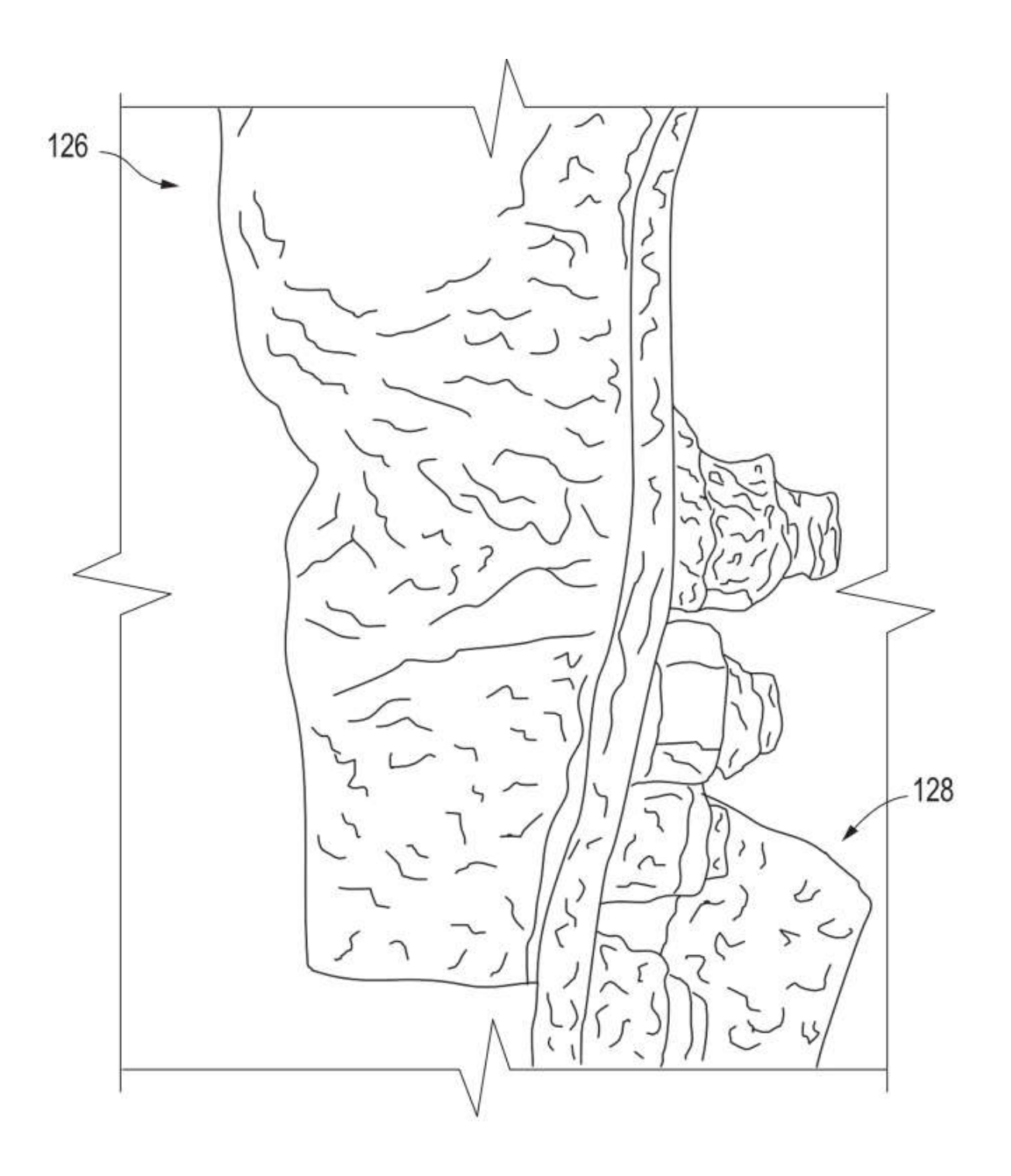
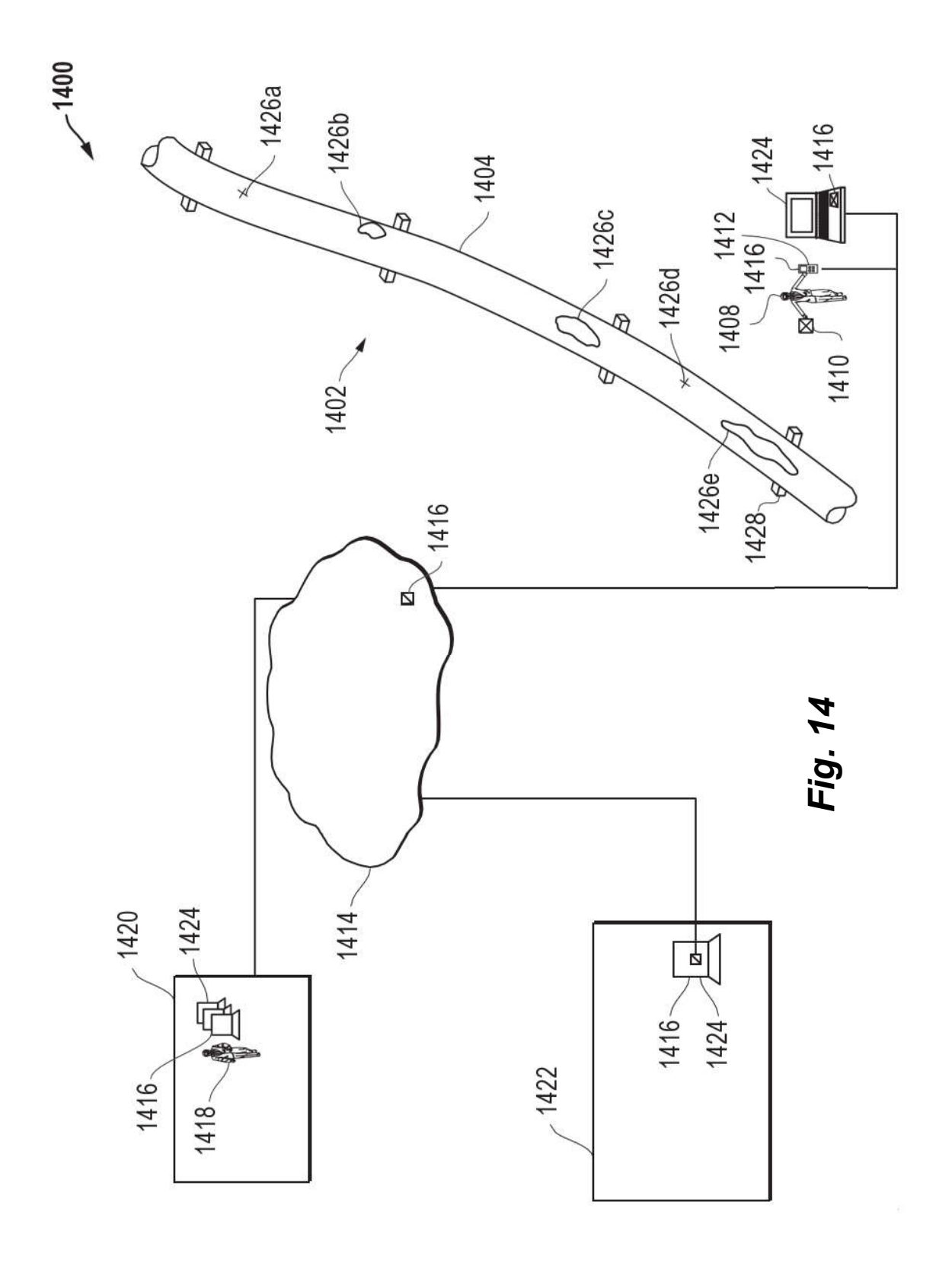
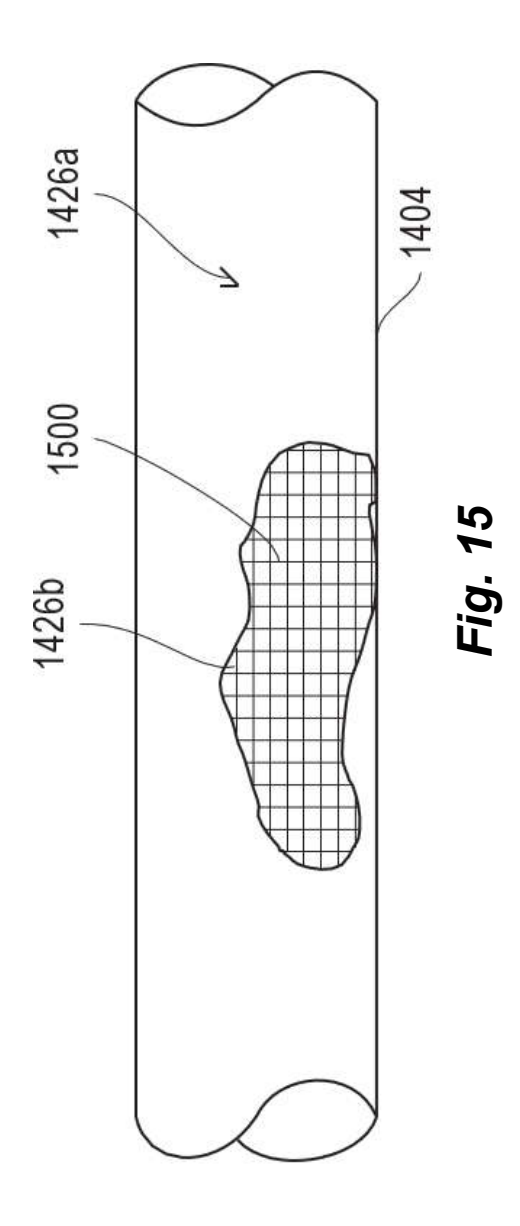


Fig. 13D





1416

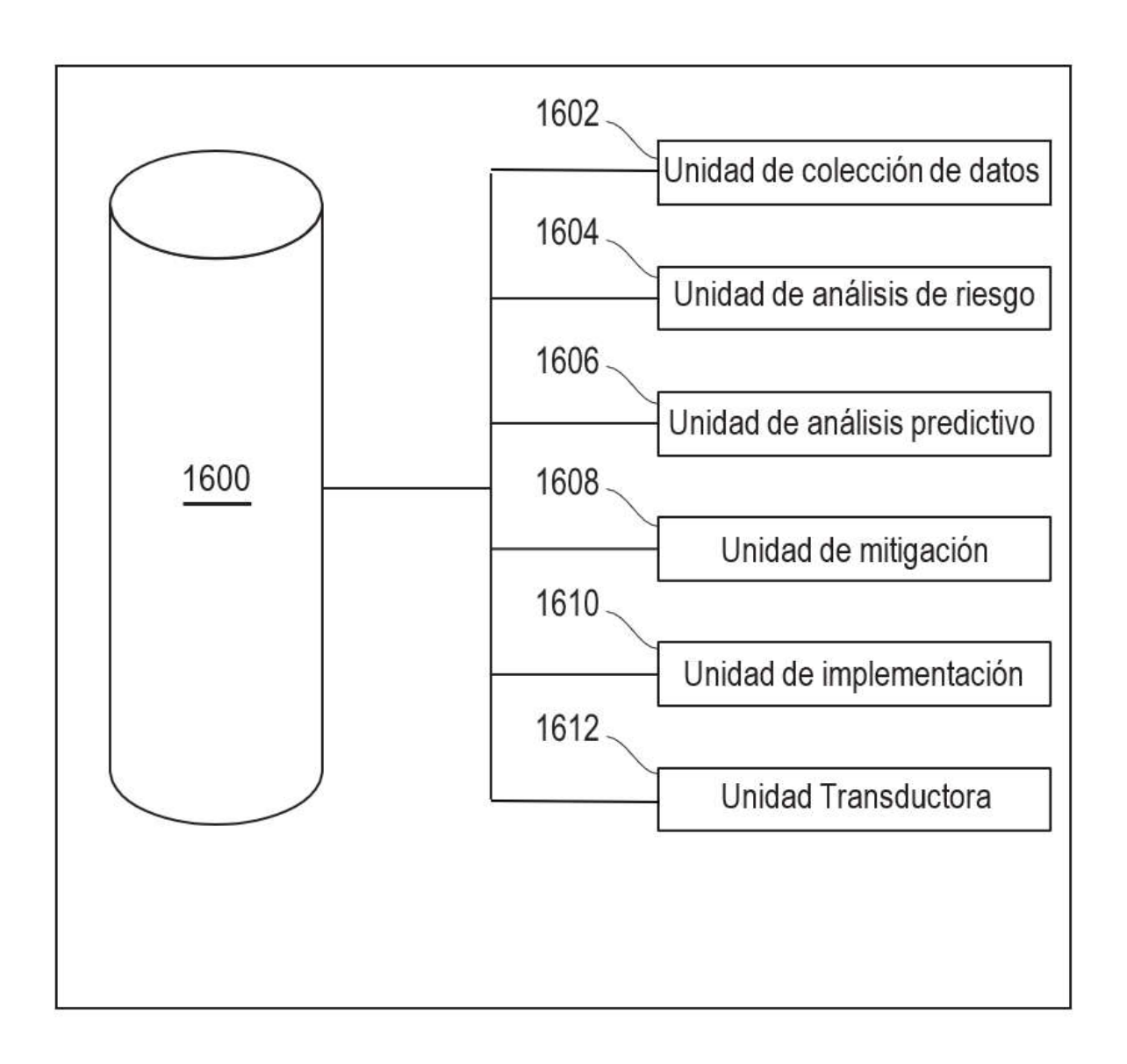


Fig. 16

DA/ILI		DA		ILI	
Número de ruta Fecha del examen Kilómetro (Milla) Examen realizado por el director del Proyecto Número de orden		Segmento-Número IM/ Número de Sub-región Estacionam	A Región # (ICDA)	Distancia de registro de RMP-11 Ref. Sección Soldadura circunferenc Dist. de soldadura circu	ial de referencia
Detalles de la excavación					
Prioridad de excavación	Programado			Razón de la excavación	ILI
P/S o CIS se lee antes de la excavación (Lectura ON) mV	0		P/S o	CIS (Lectura OFF) mV	0
P/S o CIS Comentarios Longitud de inspección real (cm (pies)) Longitud de inspección prevista (cm (pies) Nombre del archivo GPS	CIS not ejecut 158 (5.17))152 (5) DIG 31	tado (de la pared (cm (pulg.)) al de la tuberia (cm(in.))	0.556 (0.219) 30 (12)
Coordenadas GPS de linea planificadas (b Coordenadas GPS de línea (Medición de c Coordenadas GPS de línea (Medición de c Coordenadas GPS de línea (Medición de c Coordenadas GPS de línea (Medición de c Datos antes de la eliminacion	ampo no corre ampo no corre ampo corregida ampo corregida	gida) - Norte gida)-Este 48 a)-Norte 4318 a)-Este 48911	4318440.831 9113.697 439.244		
Datos del lugar					
Tipo de suelo nativo prim Material de relleno como se enco Comentarios del rel ¿Está presente Rock Shi	entró Nativo leno NO.			los tipos de suelo mixto de la cubierta (cm (ft.))	Con Loam 193 (6.33)
Tipo de revestimion Tipo de recubrimiento Comenta	ento HAA		Recubrimientos a	dicionales encontrados	Ninguno
Espesor del revestimiento (cm (pu	0 11 0.00 10	4)	Número de	capas de revestimiento	1
Pruebas realizadas durante las vacacio Dispositivo de prueba de vacaciones utiliz Comentarios de las pruebas de las vacacio	ado Bobina	١	/oltaje de prueba	de vacaciones Voltaje usado	2000 N
Ubicación de la muestra de s Notas de localiza Agua subterránea pres	ción Adyace	uperior nte a la tuberi	a	Muestra	ecogida N
Muestra de Condiciones del recubrimi Condiciones del revestimiento Comenta	pH 0 ento Bien ad	herido a la tul do antes de q	bería ue DE Tech esté	Fotos tom en el lugar.	nadas Y

Fig. 17A

El borde superior de la remoción del recubrimiento

Mapa de Degradación del Revestimiento Punto de

Referencia Cero

DA/ILI	D	A	ILI	
Número de ruta Fecha del examen Kilómetro (Milla) Examen realizado por el director del Proyecto Número de orden	Segmento-N Número IMA Número de Re Sub-región# Estacionamie	Distr RMF egión Sold (ICDA) Dist.	ancia de registro del 2-11 Ref. Sección adura circunferencia de soldadura circun	al de referencia
-		Ubicació revestim	n de la muestra de iento	Adyacente a
Muestra de recubrimiento tomada Revestimiento inferior liquido Productos de corrosión presentes Comentarios de corrosión	Y N N N/A 5.4	Si es afirmativo, muest	vo, pH del Liquido ra de la corrosión ctrodo) Aguas abajo	Dent. 0 N
pH Suelo (Sb Electrodo) Aguas arriba	5.4	pri cuelo (ob Lie	circuo) Aguas abajo	V.T
Num. cm (pies) desde Referencia En pu	unto	Max. Longituid (cm (in.))	Max. Extension de	Circuito (cm(in.))
Resistividad del suelo Pot. Zanja Tubería a Suelo (-mV)-Aguas arriba Pot. Zanja Tubería a Suelo (-mV)-Comentarios Resistividad del suelo en la Zanja-4-Pin Multiplicador 4-Pin Distancia Agujerocm(pies) Multiplicador Caja de Suelo	-930 N/A 1 122 (4) 1000 3000	Pot. Zanja Tuberia a Si Resistividad del suelo e	en la Zanja -4-Pin (Oh 4-Pin Resisitiv Lectura Caja de S	nms) 6.83 idad 5231.78
Patos después de la retirada del revestimiento Temperatura Tuberia(C (F)) Weld Seam Type Tipo de soldadura (3º Soldadura)	N/A	Tij	o Tubería(cm (in.)) oo de Soldadura (2	nd Weld) N/A
Coordenadas soldadura: Norte Elevación de la soldadura circunferencial (m) Posicion de la soldadura en Reloj	0 11		denadas soldadura soldadura en Reloj	
Posicion de la soldadura (3º Soldadura) Daños de corrosión Otras notas de daños		laño mecanicoe.	Daño mecáni	
Mag. Fluorescente Húmedo. Parte. Prueba realizada? ción del espesor de la pared de UT-1 en punto (cm (in.)) da del grosor de la pared UT-3 en punto (cm (pulgadas)) ción del grosor de la pared en UT - 5 en punto (cm (pulgadas)) da del grosor de la pared en UT - 7 en punto (cm (pulgadas)) da del grosor de la pared en UT - 9 en punto (cm (pulgadas))	0.50/ (0.201) Me		pared UT-4 en punto (d en UT - 6 en punto (e. Comentarios 0.58 DC (cm (pulg.)) 0.58 cm (pulgadas)) 0.58 cm (pulgadas)) 0.58

Fig. 17B

Medición del grosor de la pared en UT - 11 en punto (cm (pulgadas)) 0.58 (0.23) Medición del grosor de la pared en UT - 10 en punto (cm (pulgadas)) 0.58 (0.23)

DA/ILI	DA	LI
Número de ruta	Segmento-N IMA	Distancia de registro del ILI (cm (pies))
Fecha de Examen	Numero Región	RMP-11 Ref. Sección
Punto Kilómetro (Milla)	Numero Subregión (ICDA)	Soldadura circunferencial de referenci
Examen de Puntos realizado por el gerente de proyecto	Colocar	Dist. de Soldadura circunferencial
Número de orden		

Espesor nominal de la pared (cm (pulg.)) 0,556 (0,219)

Mapeo externo de corrosión

Anomoly	Punto	cm (pulgadas) de Ref.	cm (pulgadas) TDC	de	Longitud de celda	Ancho de celda	máxima Profundidad del pozo	Descripción/Notas
2	10	12.7 (5)	12.	7 (5)				

Resumen Mapa de Area corroida

Profundidad Fosa externa

Anomoly	Punto	Cm (pulgadas) de Ref.	cm (pulgadas) de TDC	Descripción/Notas
1	1		ROW	:1

Rejilla de medición externa de la profundidad de la fosa

Profundidad de Fosa interna

Punto de anomoly	cm (pulgadas) de Ref. cm (pulgadas) de TDC	

Rejilla interna de medición de profundidad de pozo

Datos de recoat

CLIENTE Representante aprobado para pi	roceder	El capataz ha sido aprobado para proceder con el
con el recubrimiento Y	Limpio	recubrimiento Y
Sandblast Media Tubo recubierto con Comentarios de Recoat	Explosión Protal 7200 NO.	Medición del perfil del ancla (mm (mils)) 0.079 (3.1)
Temperatura del aire (C (F))	21 (69)	Temperatura de la tubería (C (F)) 21 (69)
La hora del día	10	Punto de rocio (C (F)) 16 (61)
Humedad relativa (%)	75	Reparar la dureza del recubrimiento (si es un recubrimiento ARC) N/A
Espesor medido del revestimiento-3:00 (mm (mils))	0.86 (34)	Espesor de revestimiento medido-6:00(mm (mils)) 0.79 (31) Espesor medido del revestimiento-12:00(mm (mils)) 0.86 (34)
Espesor de revestimiento medido: 9:00 (mm (mils))	0.86 (34)	Dispositivo de prueba de vacaciones Bobina usada
Probado en vacaciones	Y	ETS instalado
Voltaje utilizado para las pruebas de vacaciones (Voltios)	2000	
Estación de prueba de cupones instalada Si es así, la fecha de instalación	N	
Configuración de la superficie	Otros	
Comentarios sobre la configuración de la superficie	No está instak	ado.
Material de relleno	Arena	

Fig. 17C

DA/ILI	DA	ILI
Número de ruta	Segmento-N IMA	Distancia de registro del ILI (cm (pies))
Fecha de Examen	Numero Región	RMP-11 Ref. Sección
Punto Kilómetro (Milla)	Numero Subregión (ICDA)	Soldadura circunferencial de referenci
Examen de Puntos realizado por el gerente de proyecto	Colocar	Dist. de Soldadura circunferencial
Número de orden		

Comentarios de material de relleno
Protección de recubrimiento
De tubería a suelo Lectura sobre el agujero de la campana después del relleno (mV)
Poste de relleno Tubería-a-Suelo Lectura Comentarios

Arena y suelo nativo
Ninguna
0

Datos de reparación

Reparacion realizada Tipo de reparación Misc. Comentarios/Información N N/A Pequeña abolladura sin necesidad de reparación. Número de reparaciones 0 Daño reparado

Fig. 17D

DA/ILI	DA	ILI
Número de ruta	Segmento-N IMA	Distancia de registro del ILI (cm (pies))
Fecha de Examen	Numero Region	RMP-II Ref. Sección
Punto Kilómetro (Milla)	Numero Subragión (ICDA)	Soldadura circunferencial de referencia
Examen de Puntos realizado por gerente de proyecto	el Subregión (ICDA) Colocar	Dist. de Soldadura circunferencial
Número de orden		

Examen de Partículas Magnéticas

Fecha del examen de partículas magnéticas

Equipos de prueba Yugo Número de serie 10234

Técnica AC-Continuo Test Medio Fluorescente Húmedo

Lotes de control de A9F001

calidad Como voladura le superficie NACE 2 GPS de referencia: 0

Condición de superficie NACE 2 GPS de referencia: 0
GPS de referencia: Norte 0 Este

No linear Resultados aceptados Y

Criterios de aceptación indicaciones

Tabla de anomalías de partículas magnéticas

Anomoly Cm (pulgadas) de Ref. Cm (pulgadas) de Longitud TDC (cm (pulg.))	Permanecen. Muro	Enlace

Nombre del técnico
Comentarios de N/A Nivel
Asistente

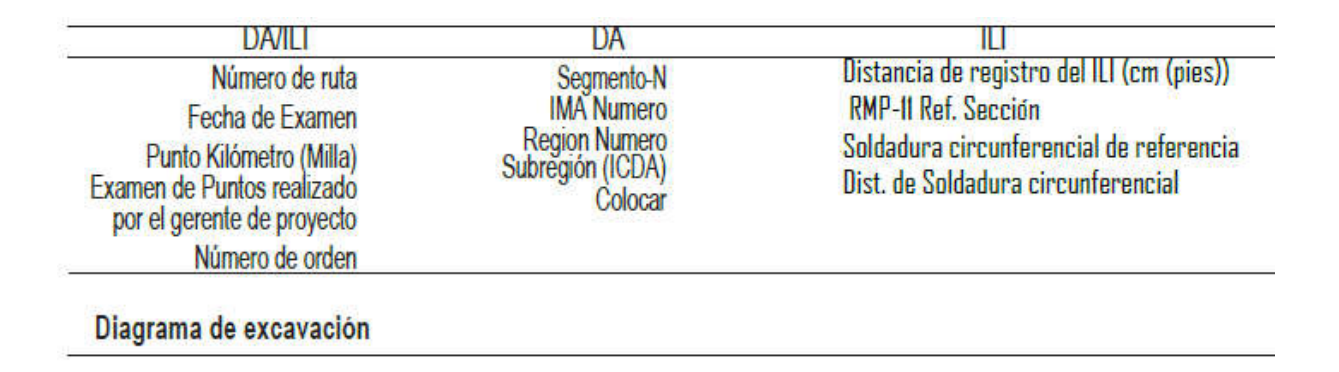
Fig. 17E

DA/ILI	DA	L
Número de ruta	Segmento-N IMA	Distancia de registro del ILI (cm (pies))
Fecha de Examen	Numero Region	RMP-11 Ref. Sección
Punto Kilómetro (Milla)	Numero	Soldadura circunferencial de referencia
Examen de Puntos realizado por el gerente de proyecto	Subregión (ICDA) Colocar	Dist. de Soldadura circunferencial
Número de orden		

Registro de fotos

Foto?	Axial	Orientació	Descripción/Comentario	

Fig. 17F



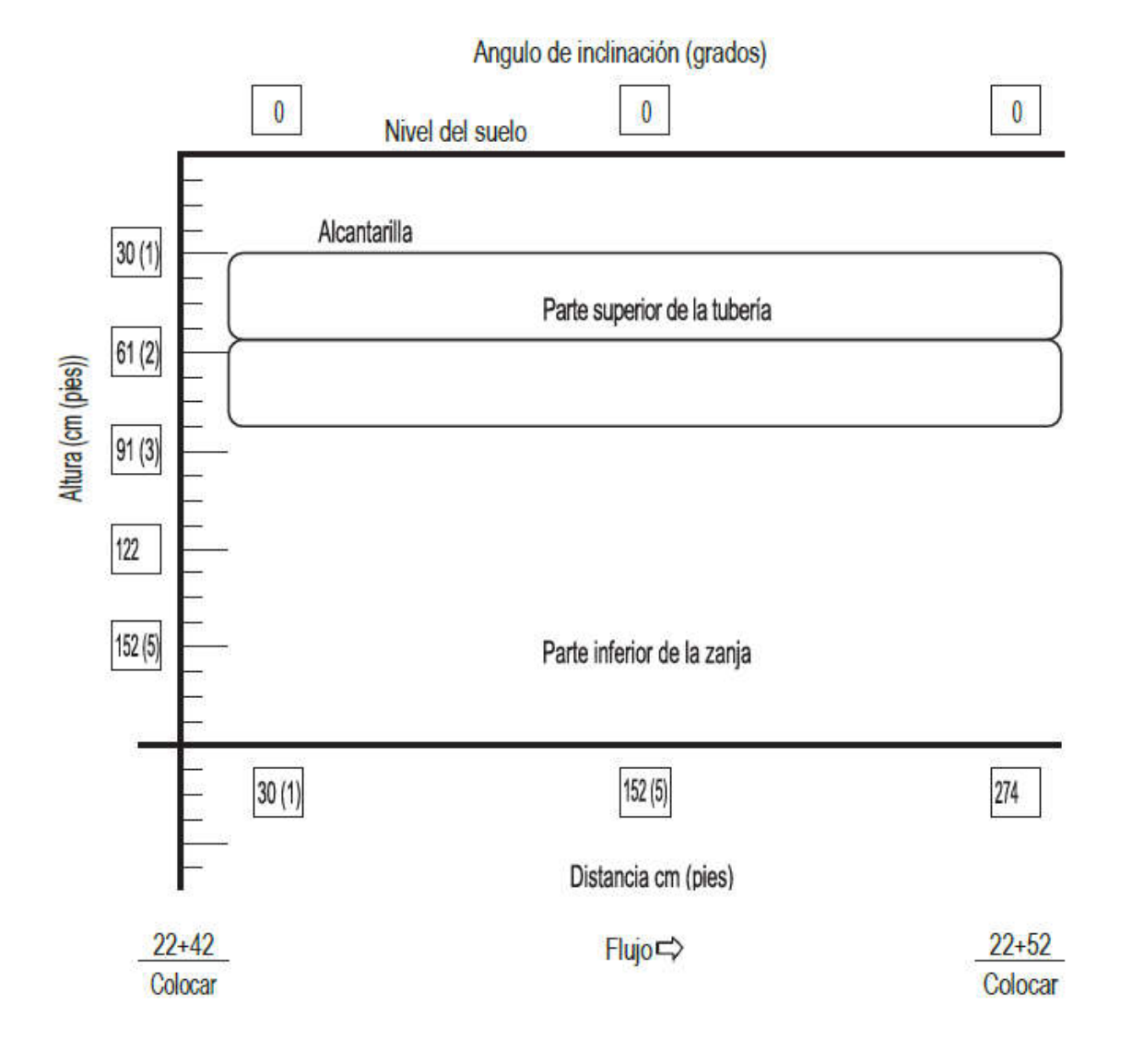


Fig. 17G

DAILI	DA	ILI
Número de ruta Fecha de Examen Punto Kilómetro (Milla) Examen de Puntos realizado por gerente de proyecto	Segmento-N IMA Numero Region Numero bregión (ICDA) Colocar	Distancia de registro del ILI (cm (pies); RMP-II Ref. Sección Soldadura circunferencial de referenci Dist. de Soldadura circunferencial
Número de orden		
Mapa del sitio		

[Inserte satélite, aéreo u otro mapa de una fuente calificada, por ejemplo, GOOGLE Earth]

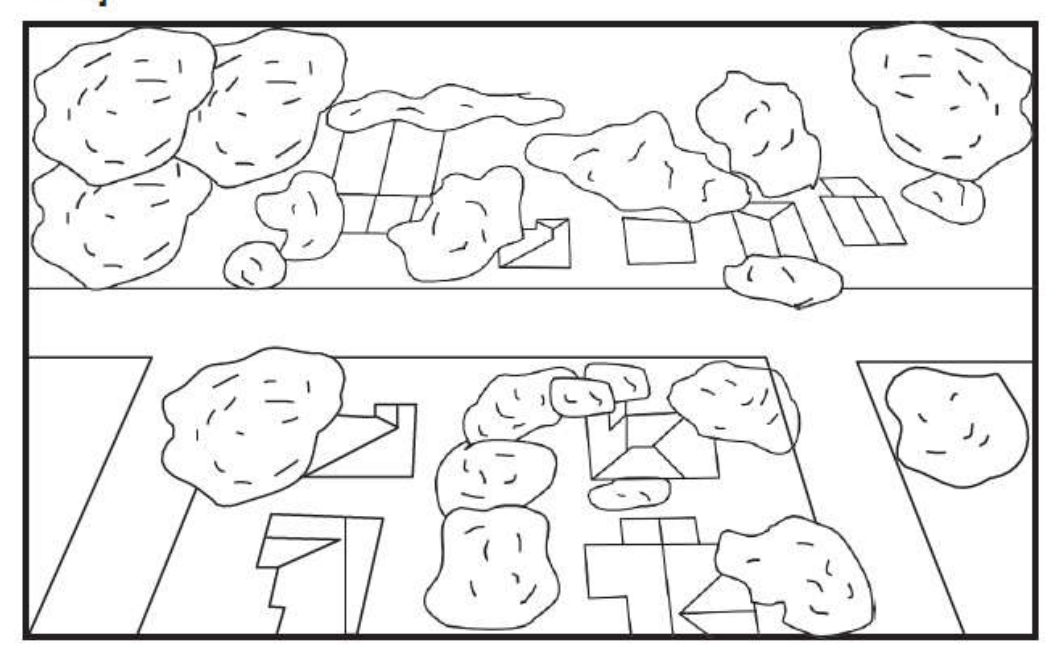


Fig. 17H

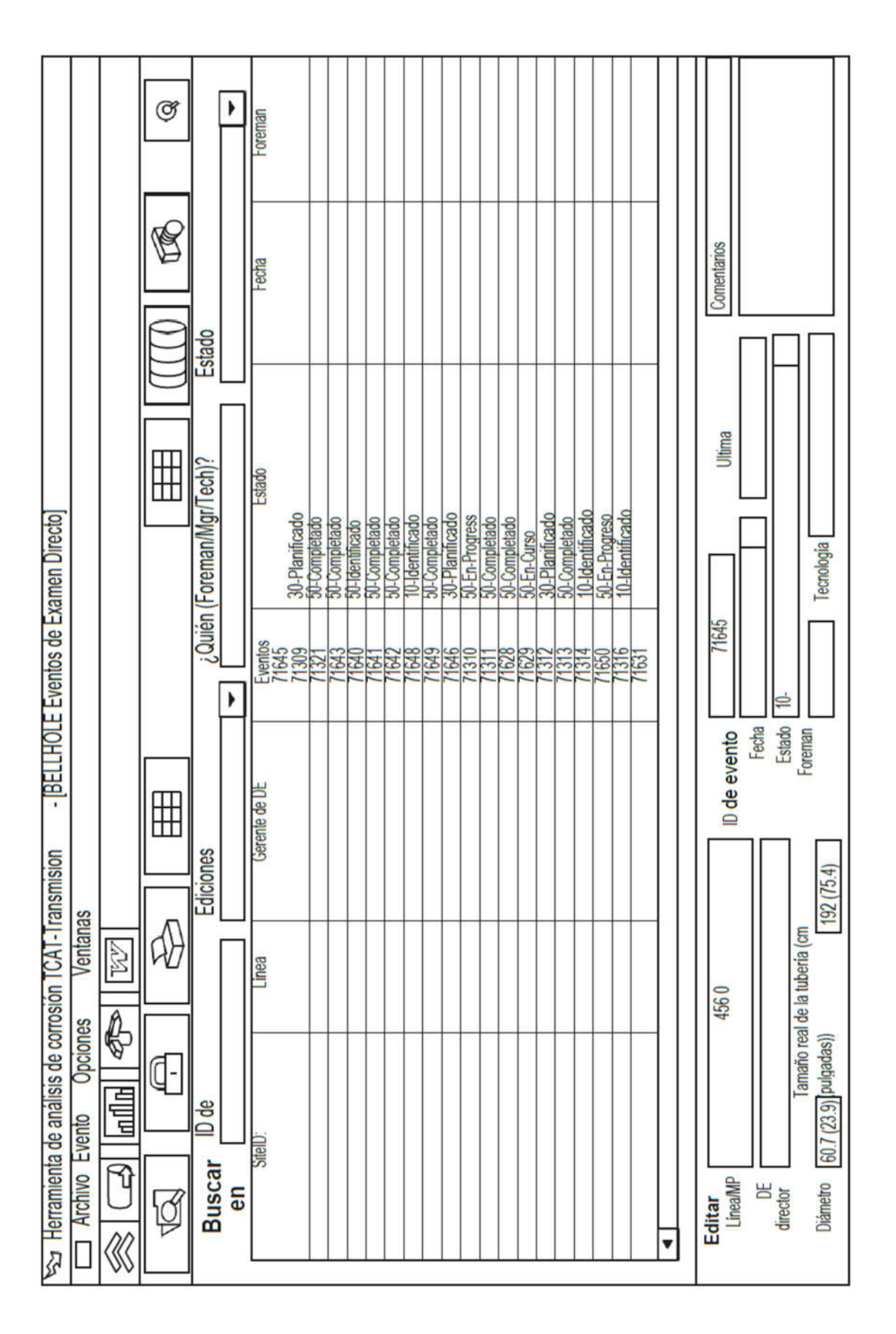


Fig. 18A

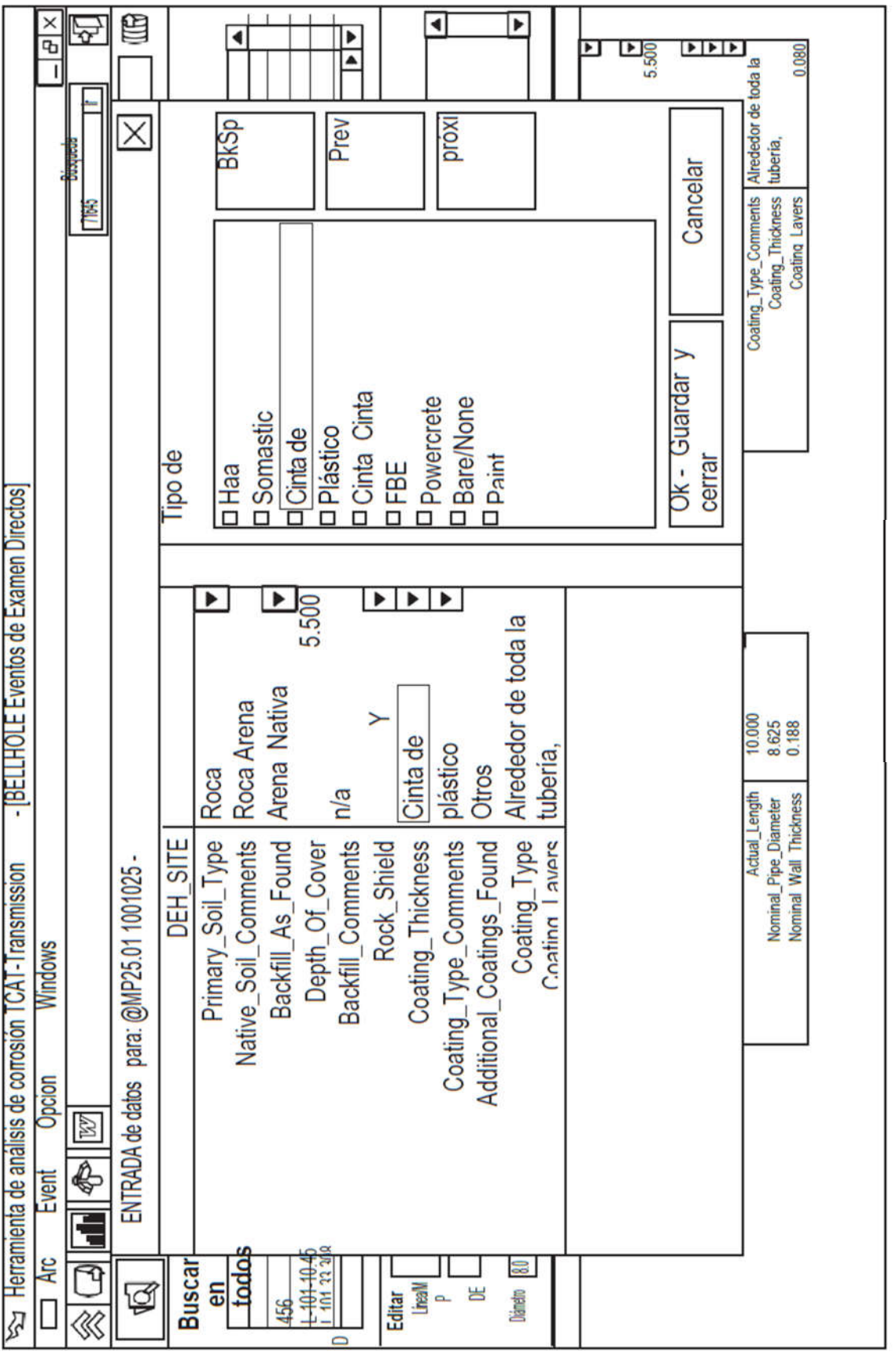


Fig. 18B

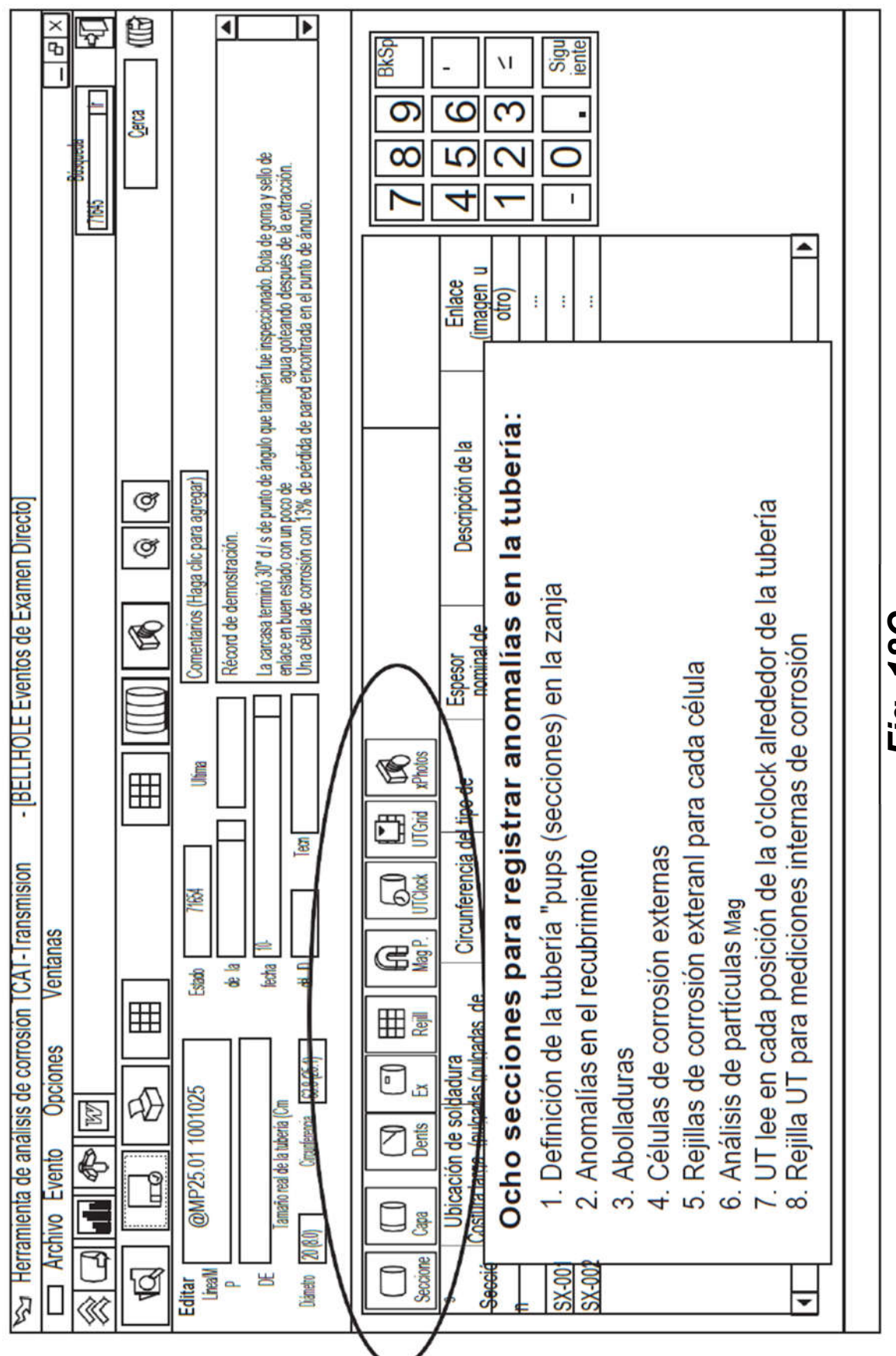


Fig. 18C

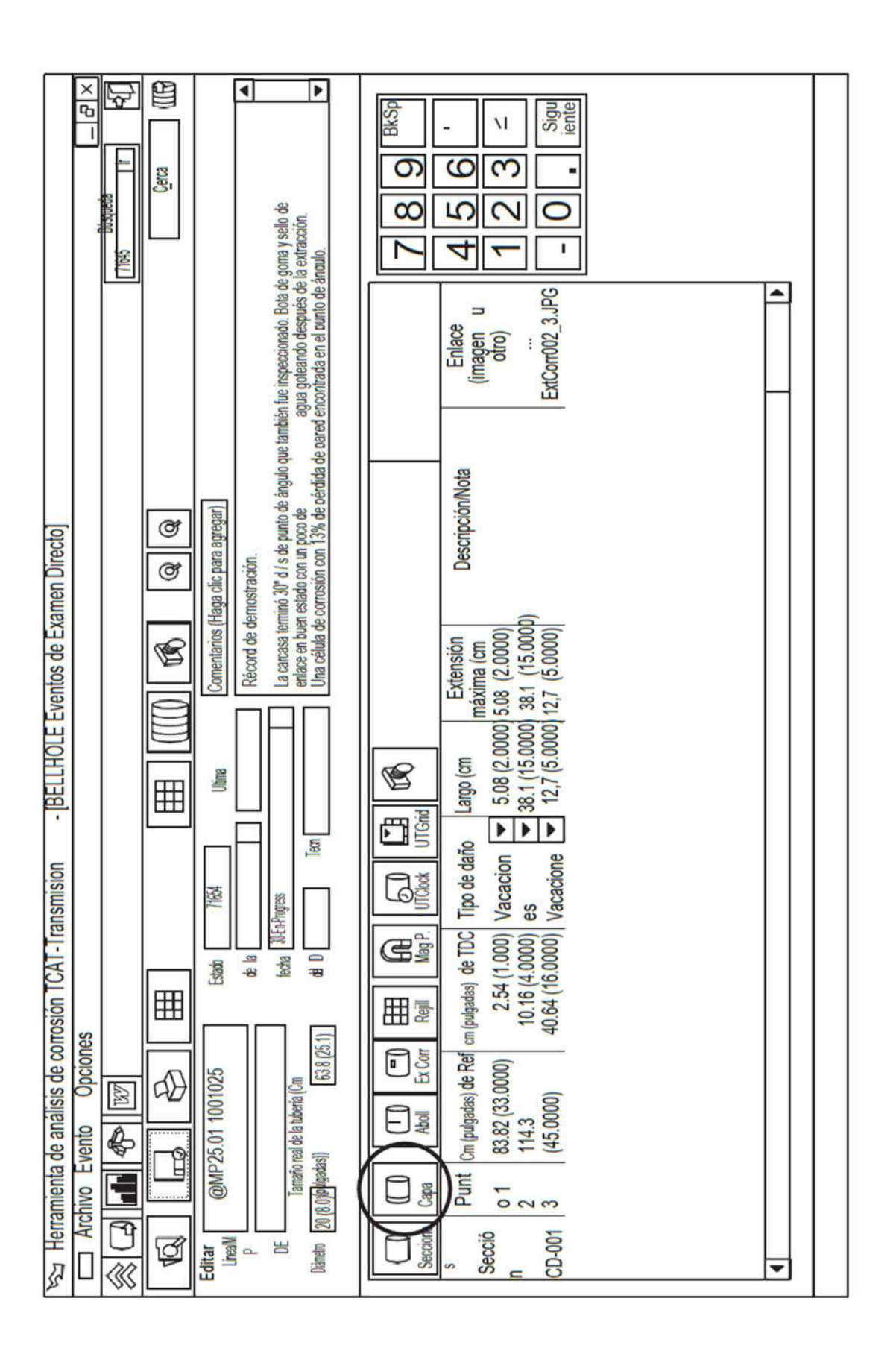


Fig. 18D

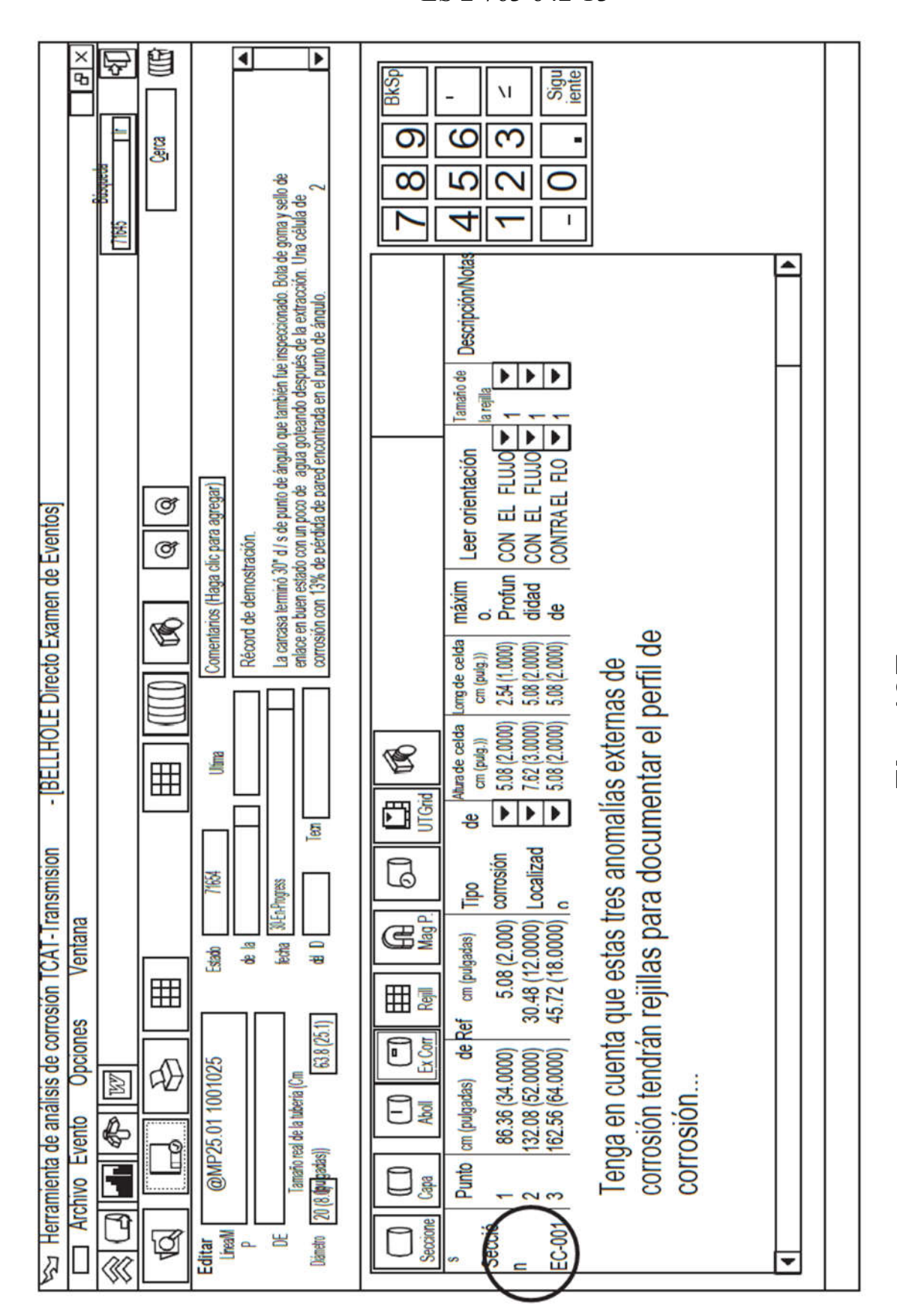


Fig. 18E

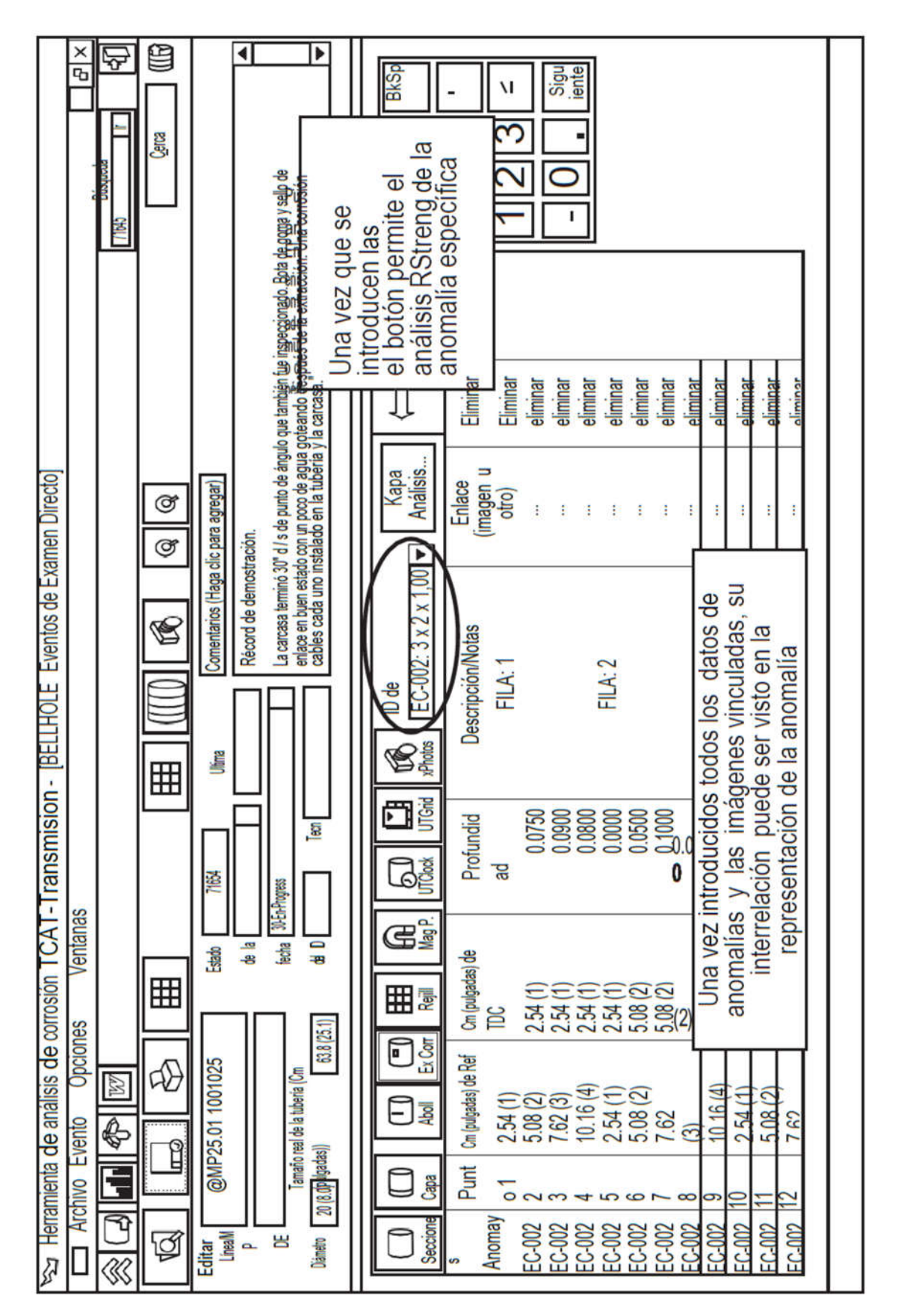


Fig. 18F

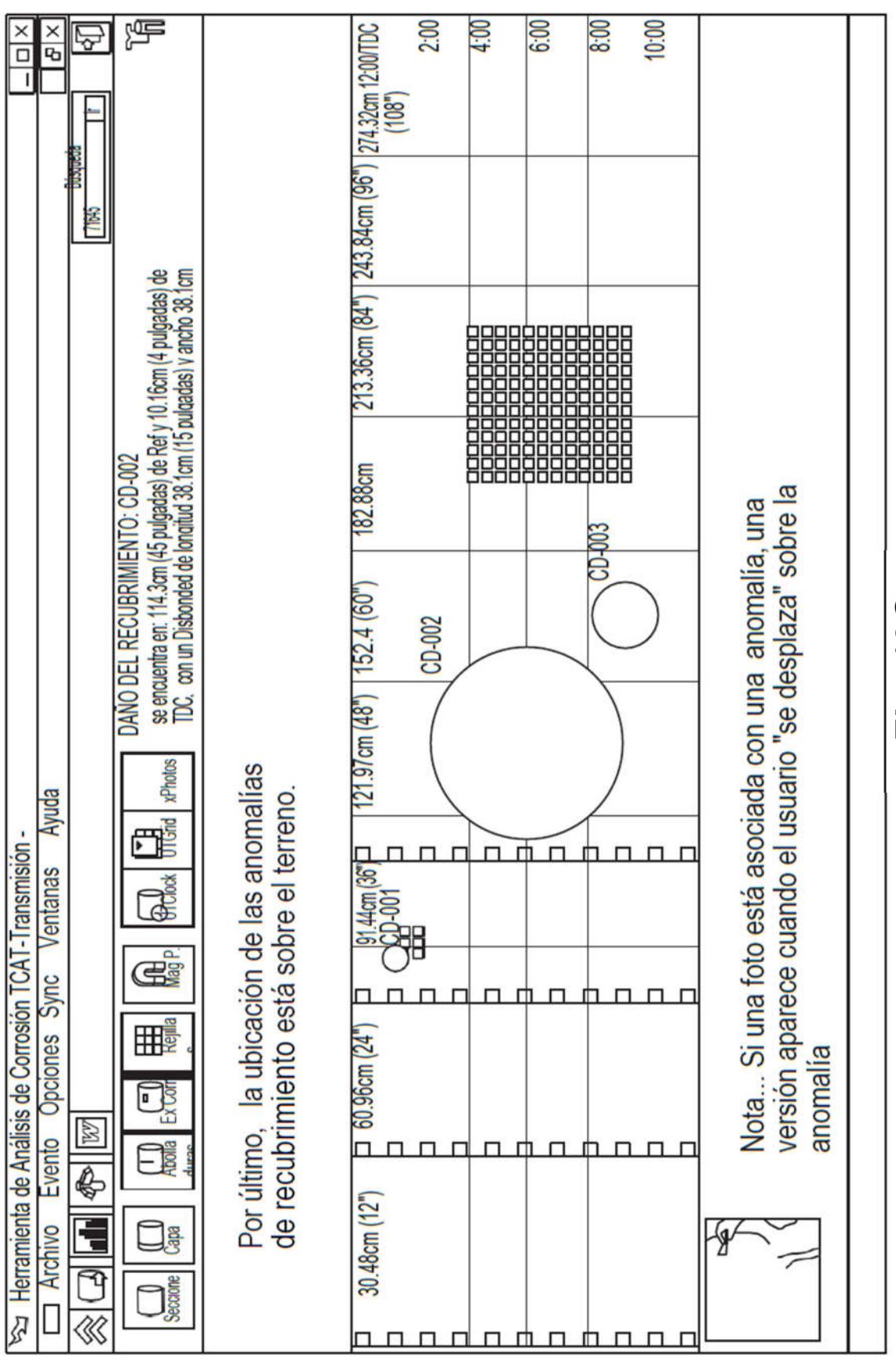


Fig. 18G

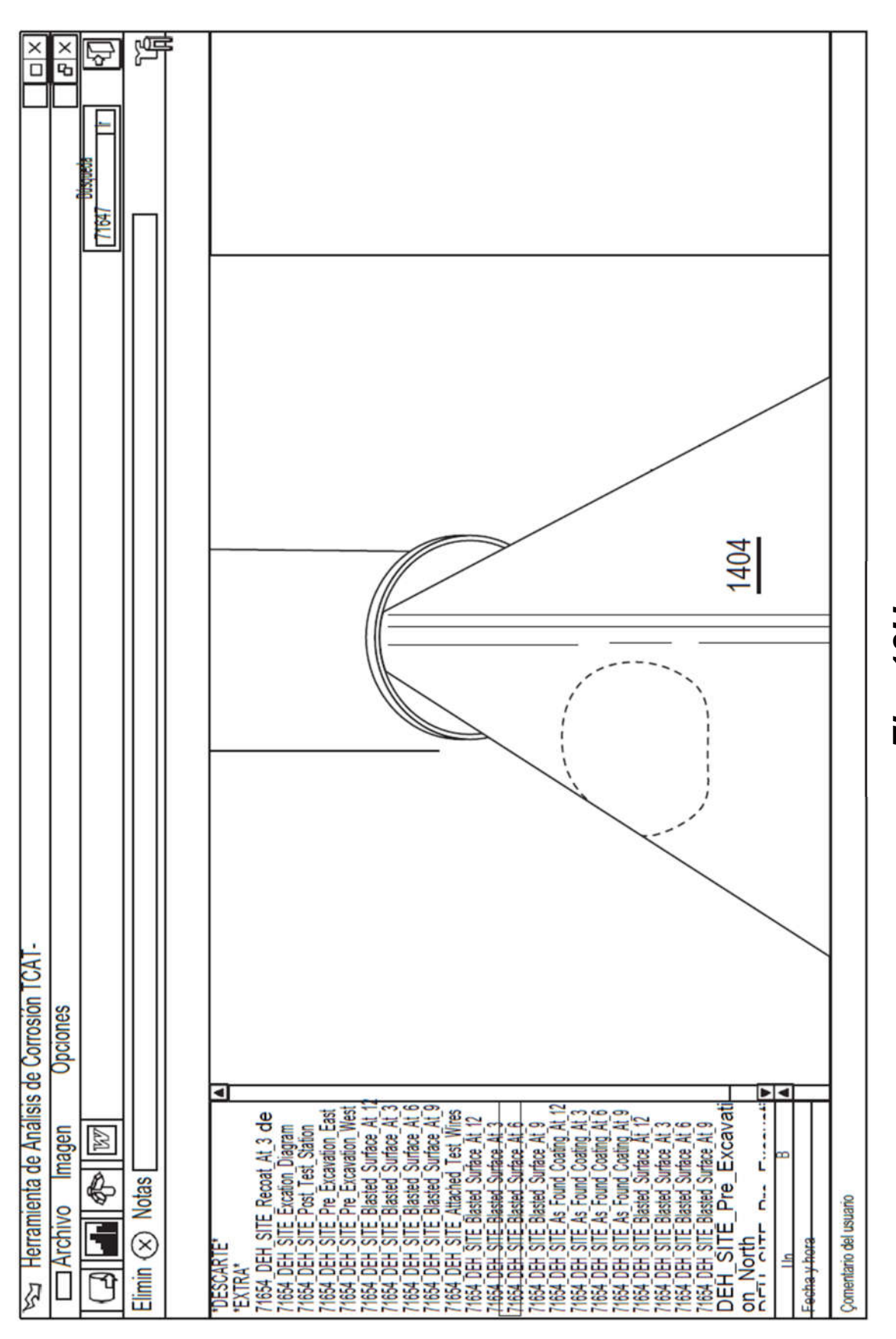


Fig. 18H